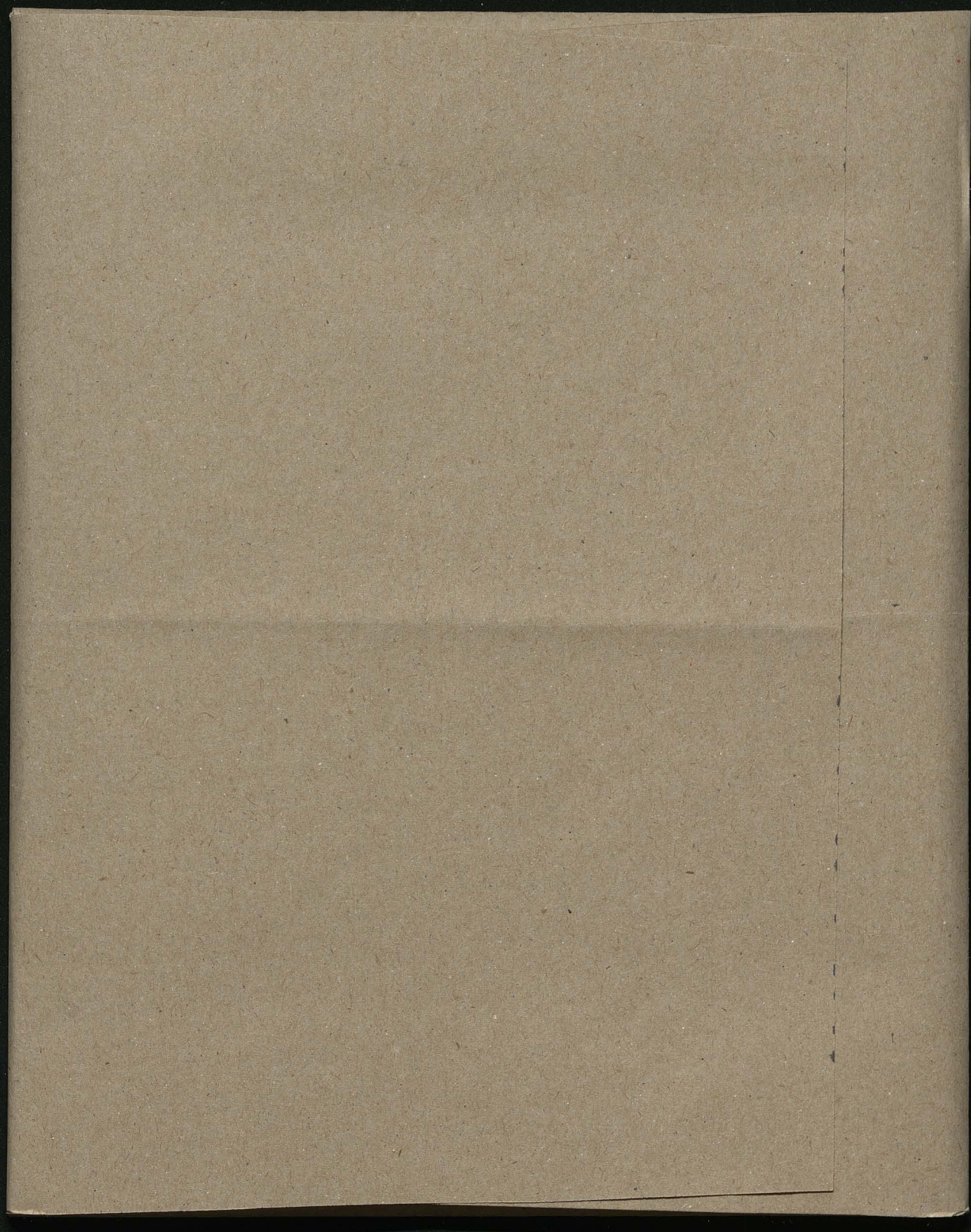


9347

Bibl. Jap.







Insb. 114/53

1x

Sur les phénomènes de l'aérodynamique et les

leurs effets thermiques qui les accompagnent

par

M. Smoluchowski,

professeur à l'Université de Lépoul (Lombard).

20

[ rev. d'oct. 1903.

Bullet. Acad. Crac. 143-183 ]

M. Marie Smoluchowski. O zjawiskach aerodynamicz-  
nych i towarzyszących im objawach cieplnych. (Sur les  
phénomènes aérodynamiques et les effets thermiques qui  
les accompagnent). Mémoire présenté par M. Lad. Na-  
tanson m. t.

1

Sur les phénomènes de ~~l'~~ <sup>l'</sup> aéro-dynamiques et ~~leurs~~ les  
effets thermiques qui les accompagnent  
par

M. Smoluchowski  
professeur à l'Université de Lésopol.

I. Équations fondamentales <sup>de l'</sup> aéro-dynamique.

§1. L'aéro-dynamique est restée ~~beaucoup~~ <sup>très</sup> en arrière <sup>de</sup> ~~en comparaison~~  
avec l'hydrodynamique, qui, ~~se peut vanter~~ <sup>se peut vanter</sup> depuis ~~la~~ <sup>depuis</sup> les  
recherches fondamentales de Stokes, <sup>de</sup> Helmholtz et <sup>de</sup> Kelvin, ~~se a~~  
~~peut vanter~~ <sup>fait des</sup> progrès énormes, grâce surtout à l'intérêt  
qu'elle a éveillé chez les savants anglais (Rayleigh, Lamb, Love,  
Hicks, Reynolds, Thomson etc.).

(En dehors de l'acoustique, il n'y a que fort peu de cas  
particuliers (transpiration <sup>par des tubes Poiseuille</sup>, effusion par une ~~ouverture~~ <sup>ouverture</sup> dans une  
lamme mince, disques oscillants <sup>de</sup> Meyer, etc.) qui aient été  
<sup>résistance des corps projetés</sup> traités avec quelque approximation; très vague quelque fois; mais  
<sup>(Stewart)</sup> pas une loi générale, pas une solution précise. ~~n'a été trouvée~~ <sup>n'a été trouvée</sup> jusqu'à présent.

*[Faint, illegible handwriting throughout the page, likely bleed-through from the reverse side.]*

*[Handwritten signature or initials.]*

Les problèmes les plus importants ~~et~~ sont à peine abordés, surtout en ce qui concerne les applications à l'aérostatique et la météorologie, lesquelles par conséquent, sont plongées dans un état d'empirisme <sup>chaotique</sup>.

C'est qu'on ne peut pas, en général, <sup>comme dans les méthodes</sup> d'après ~~les méthodes~~ de l'hydrodynamique, regarder les gaz comme incompressibles et surtout que la compressibilité, déterminée par la loi des Boyle-Charles, dépend d'une nouvelle variable, de la température, dont les variations jouent un rôle aussi considérable que les différences de ~~la~~ pression.

Par conséquent, il faut ajouter, aux équations ordinaires de l'hydrodynamique, une équation déduite de la thermodynamique. La complication du problème consiste en ce qu'il est impossible, en général, de séparer ce côté thermique de la recherche, du côté mécanique.

Dans les travaux antérieurs on <sup>admettait</sup> ~~acceptait~~ un état isothermique ou adiabatique du gaz, <sup>sans justifier ces hypothèses d'une manière suffisante,</sup> ~~on en exposant pas de preuve suffisante,~~ ou bien, on se contentait de supposer que la réalité sera comprise entre ces limites, souvent très éloignées. \*)

\*) ~~Il~~ Nous trouvons la théorie isothermique de l'effusion par une petite ouverture dans les ouvrages de: Duhamel, Mousson, Willbur, Lang, la théorie adiabatique [d'après St. Venant et Wantzel] <sup>chez: Zeuner, Wilde, Lamb; toutes les deux chez Winkelman, Chvolson etc.</sup>

*[Faint, illegible handwriting throughout the page, likely bleed-through from the reverse side.]*

*[Handwritten signature or initials, possibly "J. K."]*



*[Faint, illegible handwriting on aged paper]*

extrimement basse dans les régions supérieures. \*)

Dans ce cas, le résultat de la substitution des équations bien connues ~~est~~

p<sub>xx</sub> = -p + 2μ/3 (∂u/∂x + ∂v/∂y + ∂w/∂z) - 2μ ∂u/∂x etc. (1)

dans ρ ∂u/∂t = ρX - ∂p<sub>xx</sub>/∂x - ∂p<sub>xy</sub>/∂y - ∂p<sub>xz</sub>/∂z (2)

serait donnerait

ρ ∂u/∂t = ρX - ∂p/∂x + μ ∇²u + 1/3 μ ∂/∂x (∂u/∂x + ∂v/∂y + ∂w/∂z) + ∂u/∂x [2/3 ∂u/∂x - 2/3 ∂v/∂y - 2/3 ∂w/∂z] + ∂u/∂y [∂u/∂x + ∂v/∂y] + ∂u/∂z [∂u/∂x + ∂v/∂z] etc. (3)

Mais dans les applications ordinaires, les différences des températures n'étant pas grandes, on peut négliger les termes de la ligne seconde, et c'est ce que en général nous ferons aussi.

Dans ces équations, p représente la moyenne arithmétique des trois tensions perpendiculaires :

p = 1/3 (p<sub>xx</sub> + p<sub>yy</sub> + p<sub>zz</sub>) (4)

Il n'en résulte pas, que p soit identique <sup>à</sup> la pression qui figure <sup>l'expression de</sup> dans la loi de Boyle-Charles, ce qui est néanmoins, une hypothèse bien probable, admise presque par tous les auteurs récents. \*\*) La même supposition peut être énoncée sous une autre forme : si nous avons considéré la loi Boyle-Charles

\*) Smoluchowski "Sur l'atmosphère etc." loc. cit.

\*\*) Voir Notanson : Bulletin de l'Acad. d. Sc. de Cracovie 1901 p. 95

1) Voir à ce sujet Natanson, Bulletin Internat. de l'Académie de Cracovie, Année 1901, pp. 108-110.

*[Signature]*

au lieu de l'équation (4) comme définition de p, nous serons parvenus à l'équation

div Antykw3

$$\rho \frac{Dv}{Dt} = \rho X - \frac{\partial p}{\partial x} + \mu \Delta^2 u + \nu \frac{\partial \text{div}}{\partial x} \left[ \text{soit le symbole div est une abréviation pour } \frac{\partial u}{\partial x} + \frac{\partial v}{\partial y} + \frac{\partial w}{\partial z} \right] \quad (5)$$

et nous devrions formuler l'hypothèse de Stokes ~~div~~ de la manière suivante: le coefficient de viscosité  $\nu$  pour les changements de volume est le tiers ~~troisième partie~~ du coefficient  $\mu$  pour les changements de forme.

C'est ce que nous admettrons ~~aussi~~, en regard à la théorie cinétique, qui d'après Maxwell <sup>\*)</sup> fournit le même résultat; mais nous insistons sur l'importance d'une vérification expérimentale de cette relation, et nous ~~ne croyons pas~~ <sup>ne croyons pas</sup> ~~sur~~ ~~particulièrement~~ ~~à~~ ~~tout~~ l'opinion de Meyer <sup>avec M. Meyer</sup> <sup>ce soit</sup> qui est une question indifférente, ~~quoique~~ <sup>parce que</sup> la viscosité de volume se superpose ~~à~~ <sup>à</sup> la pression et rien peut pas être distinguée. On verra plus loin des exemples, qui ~~de cette opinion~~ <sup>de cette opinion</sup> démontrent la fausseté (§ 24, § 25); ~~on~~ <sup>on</sup> pourrait encore ajouter l'extinction des ondes sonores par suite de viscosité, à laquelle ~~contribue~~ <sup>contribue</sup> aussi cette "viscosité de volume" contribue aussi.

§ 3. La méthode la plus simple <sup>de</sup> déduire l'équation pour thermique fondamentale consiste dans l'application du principe de <sup>la conservation de</sup> l'énergie à un ~~un~~ élément de <sup>masse</sup> volume,  $dm = \rho dx dy dz$ , se déplacant dans le gaz. W.D.C.

\*) Scientific Papers II. p. 69 (1890)

\*\*) Gastheorie p. <sup>M.</sup> Grelle Journal 75 p. 337 (1873). (Meyer trouve  $\nu =$

en s'appuyant sur les principes de théorie cinétique des gaz (d'après Maxwell-Clausius), mais ce résultat est erroné. Voir Boltzmann Gastheorie I p. 93 (1895)

*[Handwritten signature]*

1848

2000

*[Faint, mostly illegible handwritten text, possibly a letter or account entry]*

*[Handwritten signature]*

*[Faint handwritten text at the bottom of the page, possibly a footer or date]*

La variation de  $l'$

Son énergie totale, comprenant les énergies colorifique cinétique et potentielle sera égale au (par rapport aux forces extérieures), s'augmentera ~~en raison du~~ travail effectué par les tensions agissant sur sa surface <sup>augmenté</sup> de la quantité de chaleur transmise en vertu de la conductibilité colorifique. — w.d.c.

Cette relation est exprimée par l'équation :

$$\frac{D}{Dt} \left[ \frac{c_v}{A} \theta + \frac{1}{2} (u^2 + v^2 + w^2) + U \right] dm = \left[ \frac{\partial}{\partial x} (u p_{xx} + v p_{xy} + w p_{xz}) + \frac{\partial}{\partial y} (u p_{xy} + v p_{yy} + w p_{yz}) + \frac{\partial}{\partial z} (u p_{xz} + v p_{yz} + w p_{zz}) \right] dx dy dz + \kappa \Delta^2 \theta \quad (6)$$

qui se transforme par développement des opérations différentielles et par l'introduction des valeurs (1) et des équations de mouvement en :

$$\frac{c_v}{A} \rho \frac{D\theta}{Dt} + \rho \operatorname{div} \Phi = \Phi + \kappa \Delta^2 \theta \quad \dots \dots (7)$$

où  $\Phi$  représente la quantité de chaleur dégagée <sup>grâce au</sup> à la suite du frotement intérieur (par seconde et  $\text{cm}^3$ ), ce qu'on appelle, d'après Lord Rayleigh, fonction dissipative :

$$\Phi = -\frac{2}{3} \mu \operatorname{div}^2 + \mu \left\{ 2 \left[ \left( \frac{\partial u}{\partial x} \right)^2 + \left( \frac{\partial v}{\partial y} \right)^2 + \left( \frac{\partial w}{\partial z} \right)^2 \right] + \left( \frac{\partial u}{\partial y} + \frac{\partial v}{\partial x} \right)^2 + \left( \frac{\partial u}{\partial z} + \frac{\partial w}{\partial x} \right)^2 + \left( \frac{\partial v}{\partial z} + \frac{\partial w}{\partial y} \right)^2 \right\} \dots \dots (8)$$

On peut faire la déduction (plus rigoureuse <sup>déduire la déduction peut être rendue</sup> d'ailleurs, en appliquant le théorème en question à une quantité finie de gaz, en transformant l'intégrale de surface en intégrale triple et en la spécialisant pour une quantité élémentaire \*)

\*) Smoluchowski „Sur l'atmosphère etc.“ loc. cit

8

La même équation

§4. Il faut remarquer, cependant, <sup>cette équation</sup> que ~~elle~~ ne sera pas exacte, <sup>rigoureusement</sup> sans doute, ~~en toute rigueur~~, <sup>pas plus</sup> de même que les équations (3), puisqu'on ne peut pas supposer que le frottement intérieur et la conductibilité de <sup>la</sup> ~~cha~~ leur soient des phénomènes tout-à-fait indépendants.

On ~~ne peut pas~~ <sup>pourrait</sup> même douter, qu'il ~~+~~ y ait <sup>(en général)</sup> des phénomènes quelconques, simultanés et coexistants, qui soient rigoureusement indépendants. l'un de l'autre

(Dans <sup>notre</sup> ces, <sup>(M.)</sup> Notanson\*) a démontré, en effet, que la théorie moléculaire cinématique fournit, pour les phénomènes de conductibilité dans un gaz (en repos ou en mouvement) des expressions différentes; <sup>suivant que</sup> ~~ce gaz est~~ mais en général, la différence sera très petite, et il sera difficile, probablement, d'en démontrer l'existence par ~~la~~ voie expérimentale.

~~Donc~~ nous nous bornerons <sup>donc</sup> (en degré d'exactitude <sup>auquel</sup> ~~on~~ permet d'atteindre) ~~à l'hypothèse~~ de "l'indépendance" ou <sup>de la</sup> "superposition" des phénomènes de viscosité et de conductibilité, ~~et nous n'entrerons pas dans la discussion des dites questions.~~

De même, nous omettons la considération des écarts de la loi de Doyle Charles, en supposant ~~la~~ l'exactitude de la formule

$$\frac{\eta}{\rho} = R\theta$$

(9)

\*) Bulletin internat. de l'Acad. d. Sc. Cracovie 1902. p

*[The page contains extremely faint, illegible handwriting, likely bleed-through from the reverse side. The text is arranged in several paragraphs across the page.]*

§ 5. En somme, les équations fondamentales <sup>de l'aérodynamique</sup> seront, outre la formule citée (9), les suivantes :

$$\left. \begin{aligned} \text{Mouvements} \quad \rho \frac{Du}{Dt} &= -\frac{\partial p}{\partial x} + \frac{\mu}{3} \frac{\partial \text{div}}{\partial x} + \mu \Delta^2 u \\ \rho \frac{Dv}{Dt} &= -\frac{\partial p}{\partial y} + \frac{\mu}{3} \frac{\partial \text{div}}{\partial y} + \mu \Delta^2 v \\ \rho \frac{Dw}{Dt} &= -\frac{\partial p}{\partial z} + \frac{\mu}{3} \frac{\partial \text{div}}{\partial z} + \mu \Delta^2 w \end{aligned} \right\} \text{--- --- (10)}$$

l'équation de continuité :  $\frac{\partial \rho}{\partial t} + \frac{\partial(\rho u)}{\partial x} + \frac{\partial(\rho v)}{\partial y} + \frac{\partial(\rho w)}{\partial z} = 0$  --- --- (11)

et l'équation thermique (7) qui peut être écrite, en considérant la relation  $\frac{c}{A} = \frac{R}{k-1}$  <sup>ainsi que</sup> (9) et (10), sous la forme suivante :

$$\frac{\partial p}{\partial t} + u \frac{\partial p}{\partial x} + v \frac{\partial p}{\partial y} + w \frac{\partial p}{\partial z} + k p \text{div} = (k-1) [\Phi + \kappa \Delta^2 \theta] \text{--- --- (12)}$$

où  $\Phi$  désigne l'expression (8).

On remarque que cette équation, jointe à (11) donne la formule ordinaire de la détente adiabatique :

$$\frac{p}{p_0} = \left( \frac{\rho}{\rho_0} \right)^k \quad \text{dans le cas où}$$

les termes <sup>du second membre</sup> de droite sont négligeables en comparaison avec de ceux des <sup>premiers</sup> gauche. Ceux-ci, en effet, représentent la réaction thermique de la compression ou de la dilatation adiabatique.

Pour définir des problèmes spéciaux, il faut préciser les conditions pour  $u, v, w, p, \theta$  à la surface, et, pour un système variable avec le temps, l'état primitif. Dans la plupart <sup>des</sup> applications, le gaz

*[Faint scribble]*

est contenu dans des parois solides, <sup>et dont la</sup> température <sup>est</sup> approximativement constante. <sup>sur ces parois</sup>  $u, v, w$  doivent être supposés nuls conformément aux expériences, qui ont démontré ~~une~~ adhésion complète des couches superficielles.

(Dans le cas d'un mouvement stationnaire, l'équation (11) donne:

$\text{div} = 0$  pour ces surfaces, d'où résulte, la direction normale  $\underline{n}$  étant prise ~~comme~~ <sup>pour</sup> ~~axe~~ <sup>des</sup>  $Z$  et la vitesse normale étant désignée par  $v_n$ :  $\frac{\partial v_n}{\partial t} = 0$ ;  $\times$  c'est-à-dire que la direction des lignes de flux dans les couches superficielles est parallèle à la surface.

— En désignant la vitesse dans cette direction par  $V$ , on trouve que l'équation (12) se réduit à la surface à

$$\Phi = \mu \left( \frac{\partial V}{\partial n} \right)^2 = -\kappa \Delta^2 \theta \quad \dots (13)$$

— Près des parois, par conséquent, l'effet thermique de compression ou de dilatation disparaît, tandis que la production de chaleur par frottement, balancée par la déperdition en vertu de <sup>la</sup> conductibilité  $\kappa$  y joue le rôle principal.

Dans un <sup>(pour lequel)</sup> ~~cas~~ le coefficient de conductibilité  $\kappa$  serait <sup>égal à</sup> zéro, un mouvement stationnaire serait impossible, puis que les couches superficielles se réchaufferaient sans cesse.

Cela suffit pour démontrer ~~qu'on a~~ <sup>il est impossible, on n'est pas en droit</sup> ~~pas justifié en général, de~~

\*) Des différences de température entre les parties diverses des parois produiraient des courants de convection. Voir: Oberbeck [Wiedem. Ann. 7 p. 271 (1876)], Lorenz [Wied. Ann. 13 p. 582 (1881)]

Faint, illegible handwriting, likely bleed-through from the reverse side of the page.

*[Handwritten mark]*

~~*[Large handwritten signature]*~~

*[Handwritten mark]*

Faint, illegible handwriting, likely bleed-through from the reverse side of the page.

Faint, illegible handwriting at the bottom of the page, possibly a date or reference.

traiter la viscosité et la conductibilité comme facteurs secondaires.

10

## II Théorèmes généraux sur la symétrie et la similitude dynamiques.

§6. Supposons les forces extérieures égales à zéro. ~~Alors~~ nous remarquerons que les équations de l'hydrodynamique ordinaire ne seront pas changées par la substitution de  $-u, -v, -w, a-p$ , au lieu de  $u, v, w, p$ , pourvu qu'il s'agisse d'un mouvement "calme" <sup>\*)</sup> c'est-à-dire <sup>pourvu</sup> qu'on puisse négliger les termes du second ordre par rapport aux et à leurs dérivées partielles ~~des vitesses~~, ce qui permet de remplacer  $\frac{D}{Dt}$  par  $\frac{\partial}{\partial t}$ .

Cela <sup>serait</sup> dire que les mouvements "calmes" des fluides sont ce qu'on pourrait appeler "inversibles" : en changeant les signes de toutes <sup>les</sup> différences de pression, on obtient un mouvement analogue, caractérisé par les mêmes lignes de flux et la même vitesse, mais en sens inverse.

Ainsi le mouvement <sup>inerte</sup> ~~est~~, et objet de l'hydrodynamique <sup>classique</sup> (ou "idéale") qui résulte de l'omission contraire, est <sup>aussi</sup> réversible, s'il est stationnaire ; mais sans inversion de pression, puisque celle-ci dépend alors du carré de la vitesse.

Les équations complètes (ou contraire) qui tiennent compte de la

\*) Le terme nous paraît plus ~~correct~~ juste que "lent", puisque ~~ceux~~ des mouvements très <sup>rapides</sup> ~~lents~~ <sup>pourvu qu'ils appartiennent à cette catégorie</sup>, pourvu que la densité soit <sup>suffisamment</sup> petite.

*[Faint, illegible handwriting throughout the page, likely bleed-through from the reverse side.]*

*[Handwritten signature or initials, possibly 'W.P.'].]*



viscosité et de l'inertie, correspondantes aux mouvements ~~violents~~ <sup>violents</sup>  
ne sont pas <sup>ren</sup> inversibles.

Notons aussi cette conclusion: si le liquide <sup>sécule</sup> passe par un tube ou  
<sup>ouverture</sup> par une ~~trou~~ dans une paroi, symétrique par rapport <sup>(au plan à la ligne YZ</sup>  
<sup>située dans cette paroi</sup> ~~à son axe~~ <sup>YZ</sup>, les lignes de flux seront aussi symétriques

(fig. 1), lorsque le mouvement est calme. Si la différence de pression  
augmente à un tel <sup>(degré)</sup> que le mouvement devient <sup>"violent"</sup> ~~rapide~~,

celui-ci devient asymétrique, ce qui explique la tendance des  
liquides ~~à~~ former des jets et des tourbillons dans des <sup>pareils</sup> ~~cas~~ <sup>pareils</sup> (fig. 2)

Fig 1. . . . . Fig 2.

Il est vrai que Helmholtz <sup>avait pas d'autre hypothèse propre</sup> ne ~~peut~~ <sup>peut</sup> pas moyen d'expliquer la  
formation des jets qui <sup>celle de l'existence</sup> ~~par son hypothèse~~ des "surfaces de discontinuité";  
mais je crois <sup>pendant</sup> ~~cependant~~ que l'asymétrie mentionnée y suffit <sup>plètement</sup> ~~entièrement~~;  
<sup>est</sup> ~~ce~~ que j'ai l'intention de <sup>développer</sup> ~~expliquer~~ plus en détail dans un <sup>travail</sup>  
<sup>en appuyant mon opinion de considérations théoriques</sup> ~~à venir~~, avec ~~des arguments expérimental~~ <sup>autres</sup> et théoriques, qui seront  
et de données expérimentales.  
d'appui à cette théorie

\*) Über discontinuirliche Flüssigkeitsbewegungen" Berl. Akad. Ber. 1868 p. 215; Ges. Abh. I p. 146

II permettent point de procéder par la  
méthode de l'inversion dont il a été  
question plus haut.

*[Signature]*

Casey  
Wright  
Wright  
Wright

*[Red line]*

Dans l'hydrodynamique ~~ordinaire~~, la valeur absolue de la pression entre aussi dans le calcul de ~~ces~~ équations (9) et (12), qui par conséquent, ne peuvent pas être ~~invariantes~~. Ici l'asymétrie est un phénomène très général; mentionnons le jet <sup>de gaz</sup> se formant, si celui-ci s'écoule sous forte pression <sup>\*</sup>), la formation des tourbillons annulaires de fumée (d'après la méthode de Tait) les mouvements asymétriques et <sup>les</sup> tourbillons autour d'un corps projeté (Rach). w. d. c.

<sup>(c'est)</sup> Seulement pour des mouvements très calmes, avec <sup>des</sup> différences de pression très petites, qu'il y aura <sup>(des cas de)</sup> une symétrie approximative ~~et~~ (voir par exemple § 28).

§ 7. Un principe qui est très fertile en applications diverses, est le principe de la similitude dynamique, employé par exemple par Helmholtz <sup>\*\*\*)</sup> dans l'hydrodynamique ordinaire: ~~voir~~

[Après avoir <sup>achevé</sup> l'étude <sup>étude</sup> présente j'ai remarqué que Helmholtz, dans un <sup>second</sup> ~~autre~~ travail, <sup>\*\*\*)</sup> avait étendu ses recherches ~~sur~~ pour y comprendre l'aérodynamique et les applications à la navigation aérienne. Mais ~~les~~ <sup>ce</sup> raisonnement y <sup>dont il se sert</sup> ~~contient~~ donne lieu à quelques objections fondamentales, qui rendent plus que

\*) Voir § 9, 5.

\*\*) Berl. Akad. Ber. 1873 p. 501; Ges. Abhandl. I p. 158

\*\*) Nied. Annalen VII p. 375 (1879)

1

*[Faint, illegible handwriting in the upper section of the page]*

*[Faint, illegible handwriting in the middle section of the page]*

*[Faint handwriting at the bottom of the page, possibly a signature or date]*

douteuses <sup>ses</sup> les conclusions définitives. le rapport des

(En dehors d'une erreur numérique [~~les~~ <sup>n'est pas</sup> coefficients de viscosité  $\frac{\mu}{\rho}$  pour l'air et l'eau ne sont pas en raison de 0.8082 mais de 8.082] qui change complètement les résultats quantitatifs, nous mentionnons ~~par~~ trois points importants :

- 1). l'omission complète de l'influence de la température dans les équations fondamentales
- 2). la compressibilité de l'air <sup>est</sup> ~~est~~ <sup>est</sup> négligée dans le cas d'un ballon <sup>énorme</sup> ~~colossal~~, se mouvant avec une vitesse de  $9 \frac{m}{sec}$
- 3). la viscosité, <sup>qui est</sup> négligée dans le même cas et dans le cas analogue d'un ~~navire~~ <sup>bateau</sup> dans l'eau. L'importance du point dernier est mise en évidence par le résultat bien connu, qu'une sphère animée d'une vitesse constante ne subirait point de résistance dans un liquide sans viscosité.

Je crois que l'on ne peut pas étendre la notion de "similitude" à de cas <sup>autres</sup> ~~si~~ différents que ces deux-là. Ce terme sera employé, dans ce qui suit, d'une façon différente, au sens strict du terme. ]

Lors qu'on connaît la solution d'un problème donné, on peut se demander, si les mêmes équations ne peuvent pas être satisfaites par ~~elles~~ les valeurs en substituant

\*) Une partie considérable de la résistance d'un ~~navire~~ <sup>bateau</sup> provient de la formation des ondes, qui dépendent <sup>évidemment</sup> de la gravité; sous ce rapport il n'y a aucune analogie avec un ballon.

~~12~~

*[Faint, illegible handwriting]*

~~12~~

*[Faint, illegible handwriting]*

les volumes  $n \times \overset{a}{\cancel{m}} \times \overset{a}{\cancel{m}} \times$  (de même pour  $y, z$ )  
 $m \ u \quad \quad \quad u \quad ( \quad \quad \quad \quad \quad \quad \quad v, w )$   
 $b \ p \quad \quad \quad p$   
 $h \ \theta \quad \quad \quad \theta$   
 $\frac{n}{m} \ t \quad \quad \quad t$

— Les conditions nécessaires <sup>et suffisantes</sup> qui résultent de la substitution de ces variables en (10) et (12) ~~est l'existence des identités~~ sont les suivantes

(de 10) I:  $\frac{b}{h} \frac{m^2}{n} \equiv \frac{b}{n} \equiv \frac{m}{n^2}$   
 (de 12) II:  $\frac{m b}{n} \equiv \frac{m^2}{n^2} \equiv \frac{h}{n^2}$

qui se réduisent à deux identités indépendantes <sup>\*)</sup> entre quatre variables:

$h \equiv m^2; \quad b \equiv \frac{m}{n}.$  } (14)

Voici ~~des~~ <sup>des</sup> exemples particuliers, qui mettront en évidence l'importance pratique de cette similitude dynamique:

§ 8. Posons <sup>(donc  $b = \sqrt{h} = m$ )</sup>  $n = 1$ : Dans le même ~~vaisseau~~ <sup>vaisseau</sup>, il y aura un mouvement tout-à-fait analogue au mouvement primaire, lorsque les pressions seront élevées en proportion de <sup>la racine de la</sup>  ~~$n$~~  et les températures ~~élevées~~ <sup>élevées dans la même proportion</sup>; les vitesses alors seront  ~~$n$  fois plus grandes~~.

a) Ainsi la vitesse du son, qui est donnée par  $c = \sqrt{k R \theta}$ ,

indépendamment de la pression augmente en ~~proportion~~ <sup>raison</sup> de la racine de la température. Mais cette formule n'est exacte

\*) Lorsque l'on tient compte de la variabilité des coefficients  $\mu$  et  $\kappa$ , en les supposant proportionnels à  $\theta^\alpha$ , on doit remplacer l'équation (14, 2) par  $b \equiv \frac{m^{2\alpha+1}}{n}$

¶ si l'on n'adopte point ces hypothèses simpli-  
ficatrices !

~~1/2~~  
~~1/2~~  
~~1/2~~

que pour des amplitudes très petites, <sup>et comporte</sup> avec l'omission des effets de viscosité <sup>15</sup>  
 et de conductibilité <sup>peut</sup> ~~être~~ on aura une formule compliquée, dans  
 laquelle entrera aussi la pression. ~~Tout de même~~ Notre conclusion  
 restera <sup>peut-être</sup> exacte, pourvu qu'on la rapporte à des sons, dont le nombre  
 de vibrations <sup>est</sup> proportionnel à  $\sqrt{\theta}$  et pourvu qu'on mesure la vitesse pour  
<sup>des</sup> pressions <sup>correspondantes</sup> ~~en même proportion~~ <sup>proportionnelles à</sup>  $[\theta^{\frac{2k+1}{2}}$  dans le cas général]. Elle  
 s'applique aussi à la propagation dans des tuyaux étroits.

f). La résistance <sup>(dimension  $L^2 \rho$ )</sup> qu'éprouve un corps se mouvant avec une vitesse  
<sup>petite</sup> est à peu près proportionnelle à celle-ci. Ceci est exact <sup>pour des vitesses quelconques</sup>  
 si la densité <sup>pression</sup> ~~décroit~~ <sup>s'élève</sup> ~~simultanément~~ <sup>de la vitesse</sup> en raison ~~inverse~~ et la  
 température ~~décroit~~ <sup>dans une proportion quadratique</sup> en raison du carré de la vitesse.

g). Applications semblables à l'écoulement des gaz.

§ 9. <sup>Pose</sup> ~~Mettons~~  $h=1$ ; par conséquent  $m=1$ ,  $b=\frac{1}{n}$ : la température  
 reste invariable; la vitesse (aussi sera) la même dans deux <sup>vaisseaux</sup> ~~vaisseaux~~  
 semblables, dont les dimensions sont en raison inverse des  
 pressions du gaz.

d). En effet, <sup>il est facile de voir</sup> ~~on voit facilement~~ que la formule approximative  
 de Kirchhoff pour la vitesse du son dans des tuyaux étroits (rayon  $r$ ):

$$v = \sqrt{\frac{k\rho}{\rho}} \left[ 1 - \frac{\gamma}{2n\sqrt{\pi N}} \right]; \quad \text{où } \gamma = \sqrt{\frac{\mu}{\rho}} + \sqrt{\frac{k}{c\rho}} \left[ \sqrt{k} - \frac{1}{\sqrt{k}} \right];$$

satisfait à cette proposition, (en considérant que  $N$  doit être chargé <sup>n/</sup>

Γ applicable que dans le cas du

jusqu'à présent  
≠ (à expliquer ce phénomène.

en raison inverse des dimensions).

β). La formule de Poiseuille-Meyer:

$$M = \frac{p_2 - p_1}{l} \frac{R^4 \pi}{8 \mu} \dots \dots \dots (15)$$

n'est ~~correcte~~ que pour le mouvement "calme" dans un tube long et étroit.

Notre théorème démontre que son application à un tube de dimensions  $n$  fois plus grandes n'est justifiée que lorsque les pressions sont diminuées en raison ~~inverse~~ <sup>\*</sup>). Mais dans ce cas, la vitesse sera la même, le volume <sup>qui</sup> s'écoule sera augmenté proportionnellement en raison  $n^2$ . Mais ce résultat ne dépend pas de la validité de la formule (15) et n'est même pas limité au flux stationnaire; il peut être appliqué par exemple à l'efflux de gaz d'un vase clos par une ouverture.

γ). La résistance de corps, de différentes grandeurs, mais semblables, projetés avec une certaine vitesse dans un gaz de pression inverse à leurs dimensions, sera proportionnelle à celles-ci.

Un mouvement <sup>semblable</sup> ~~pas~~ <sup>rapide</sup> cause des sons sibilants ~~placés au point de la théorie est restée impuissante jusqu'à présent.~~ Néanmoins, nous pouvons prédire (Reibungstöne) <sup>le</sup> nombre des vibrations, dans ces circonstances, sera <sup>en proportion inverse</sup> ~~proportionnel~~ à <sup>des</sup> l'inverse ~~des~~ dimensions des corps, si la pression <sup>est</sup> ~~est~~ réduite <sup>dans la</sup> ~~en~~ même <sup>proportion</sup> (puisque  $N \propto$

la dimension de  $\frac{1}{\lambda}$ ). <sup>\*) Tandis que dans l'hydrodynamique il y a nécessairement d'après Helmholtz une diminution de la pression en raison de  $\frac{1}{n^2}$ , puisqu'il y a une sorte de genre de similitude:  $l \propto n^2 \propto \frac{1}{\lambda^2}$</sup>

F énoncée par ce savant

- (En effet) une loi <sup>semblable</sup> ~~parait~~ a été établie par Strombol <sup>\*)</sup> ~~par ses~~ dans ses recherches sur les sons qui accompagnent le mouvement <sup>rapide</sup> vite d'un cylindre (tube de verre, fil métallique etc.) dans l'air; ~~mais~~ ~~la~~ la loi <sup>empirique</sup> ~~est plus~~ ~~générale~~ <sup>détailée</sup> parce qu'elle prétend que: le nombre des vibrations dans l'air <sup>à la</sup> ~~de la~~ pression atmosphérique est ~~directement~~ proportionnel à la vitesse, divisée par le rayon du cylindre:

$N = c \frac{v}{R}$ . Nous en concluons <sup>par</sup> d'après notre méthode, que

cette formule entraîne ~~l'indépendance~~ <sup>de la conclusion que</sup> de la hauteur du son est indépendante de la pression et de la température. Strombol, au contraire,

prétend qu'un abaissement de la température produit une élévation du son, mais <sup>l'examen</sup> des nombres correspondants aux températures de 9°C et de 17°C <sup>ne paraît pas devoir être favorable à cette opinion,</sup> ~~prétend un appui~~ ~~très douteux~~.

La formule <sup>citée</sup> ~~annoncée~~ (d'ailleurs <sup>une relation</sup> n'est qu'approximative)

5). Saint Venant et Wantzel <sup>\*\*)</sup> ont observé que la vitesse d'un gaz <sup>qui</sup> s'échappe par un orifice ne peut ~~pas~~ être augmentée par l'élévation de la pression, que jusqu'à une certaine limite, qui ne dépend pas de la différence des pressions, intérieure <sup>p<sub>2</sub></sup> et extérieure <sup>p<sub>1</sub></sup>, mais de leur rapport  $\frac{p_2}{p_1}$ . Ceci posé, imaginons

\*) Wiedem. Ann. 5 p. 216 (1878).

\*\*\*) Journal de l'École polytechnique XL (1839), Comptes Rendus 17 (1843). Les observations ont été confirmées par Zemmer, <sup>Helm</sup> Wildt, Selcher et Whitehead etc.

Handwritten text at the top of the page, possibly a name or title.

Main body of handwritten text, consisting of several lines of cursive script.

Second main body of handwritten text, continuing the cursive script.

Final lines of handwritten text at the bottom of the page.

deux expériences <sup>exécutées</sup> (avec le même orifice, mais <sup>avec des</sup> pressions différentes, où cette valeur critique a été atteinte : (1)  $\frac{p_2}{p_1} = \frac{P_2}{P_1}$  (2).

Le mouvement caractérisé par  $p_2/p_1$  sera semblable au cas (3), où les pressions sont  $P_2, P_1$  et où les dimensions de l'orifice ont été diminuées en raison de  $\frac{p_2}{P_2} = \frac{p_1}{P_1}$ . Puisque la vitesse ne change pas, la comparaison avec la deuxième expérience nous apprend <sup>apprendre</sup> que la vitesse sera indépendante des dimensions de l'orifice.\*)

Cette conclusion, qui est la conséquence de l'existence d'un rapport critique  $\frac{p_2}{p_1} = 1.89$ , s'accorde avec les résultats des expériences.

Mach et Solcher\*\*), et Emden\*\*\*) ont remarqué la formation de cannelures dans le jet d'un gaz <sup>qui</sup> s'écoulent, aussitôt que le rapport des pressions ~~de~~ dépasse la valeur critique. Emden explique ce phénomène par des changements de densité correspondants à un train d'ondes sonores fixes. La mesure des distances des cannelures lui a ~~four~~ <sup>suggéré</sup> la formule empirique

$$\lambda = 0.88 d \sqrt{\frac{p_2}{p_1} - 1.9}$$

où  $d$  est le diamètre de l'orifice,  $p_1, p_2$  les pressions

~~Abstraction faite de ce résultat~~ <sup>On sait que</sup> (dans un autre cas semblable,

\*) Égalé approximativement à la vitesse du son (voir Lamb, Hydrodynamics p. 28)

\*\*\*) Sitzungsber. d. Wien. Akad. 98 (1889), Wiedem. Ann. 42 p. 144 (1890)

\*\*\*\*) Wiedem. Ann. 69 p. 264, 426, 453 (1899).

*[Faint, illegible handwriting on lined paper, possibly bleed-through from the reverse side. The text is mostly illegible due to fading and the quality of the scan.]*

où les valeurs correspondantes sont  $D, p_1 \frac{d}{D}, p_2 \frac{d}{D}$ , la longueur  $\lambda$  changera en  $\lambda \frac{D}{d}$ . On ne saurait ~~pas~~ déterminer  $\lambda$  à priori dans un cas (troisième), où ~~on saurait~~ les valeurs  $D, P_1, P_2$ , satisfaisaient à la relation  $\frac{P_1}{P_2} = \frac{p_1 \frac{d}{D}}{p_2 \frac{d}{D}} = \frac{p_1}{p_2}$

mais si d'on a établi le fait que  $\lambda$  ne dépend pas des valeurs absolues des ~~des~~ pressions, <sup>mais</sup> seulement de leur rapport, on sait que cette grandeur conserve la valeur  $\lambda \frac{D}{d}$ . C'est-à-dire qu'on aura établi la proportionnalité de  $\lambda$  avec les dimensions de l'orifice en général:  $\lambda = d \text{ fc. } \left(\frac{p_1}{p_2}\right)$ , ~~et~~ sans avoir en besoin d'entreprendre des expériences spéciales ~~à~~ dessus. à ce sujet.

Ex. L'exemple suivant (aussi servira) à démontrer l'utilité de la cette méthode en question:

Kohlrausch \*) a fait ~~une~~ <sup>des</sup> recherches sur les sons qui naissent dans un gaz, passant par une <sup>fente</sup> ~~fissure~~ étroite (Spaltentöne).

— Les mesures s'étendaient <sup>à</sup> ~~sur~~ la dépendance entre le nombre des vibrations  $N$  ~~et~~, la largeur de la fente  $s$  et la pression  $p_1$  du gaz dans le réservoir. Comme celui-ci s'écoulait dans l'atmosphère libre, l'influence de la pression extérieure  $p_2$  ~~n'aurait~~ <sup>n'aurait</sup> pas si y manifester. Mais nous pouvons <sup>déterminer à priori</sup> ~~par~~ la manière dont elle se manifestera. Ce que nous cherchons, c'est la formule générale

\*) Wiedem. Ann. 13 p. 545 (1881).

*[Faint, illegible handwriting in the top section of the page]*

*[Faint, illegible handwriting in the middle section of the page]*

*[Faint handwriting at the bottom right corner]*

$N = f(s, p_1, p_2)$ , dont le résultat empirique de Kohrausch:

$N = f(s, p_1, p_0) = \varphi(s, p_1)$ , avec  $p_2 =$  pression atmosphérique constante, égale à  $p_0$ , est un cas particulier.

Profitons de la similitude du mouvement  $s, p_1, p_2$  avec celui où ces variables ont les valeurs  $s \frac{p_2}{p_0}, p_1 \frac{p_0}{p_2}, p_0$ , et où nous aurons  $N_0 = \varphi(s \frac{p_2}{p_0}, p_1 \frac{p_0}{p_2})$ . Les nombres des vibrations dans ces deux cas seront en raison inverse du temps [comme  $\int \rho, \rho_1$  et au  $\int \rho, \rho_2$  et au] c'est-à-dire:  $N_0 : N = p_0 : p_2$ , et par conséquent, on aura le résultat cherché:

$$N = \frac{p_2}{p_0} \varphi\left(s \frac{p_2}{p_0}, p_1 \frac{p_0}{p_2}\right) = f(s, p_1, p_2)$$

D'une manière analogue <sup>(voir § 9)</sup> on pourrait trouver l'effet d'un changement de température. ~~Est à regretter, qu'on ne peut pas exploiter de cette~~ <sup>puisque pas utiliser</sup> ~~façon des~~ <sup>point pas exploiter</sup> ~~mesures de Kohrausch, parce qu'elles ne~~ contiennent pas des valeurs explicites de  $p_1$ , mais seulement les vitesses moyennes  $U$ , qui en dépendent, et ~~la~~ parce que les résultats, condensés dans la formule approximative  $N = A(U-B)$  et dans un tableau des valeurs de  $a, B$ , en fonction de la variable  $s$ , ne fournissent pas la loi finale <sup>sous une</sup> ~~en~~ <sup>explicite</sup> ~~forme définie~~.

§ 10. Le troisième cas spécial  $b=1, m=1$  de la similitude, ainsi que les modifications produites par la dépendance de la viscosité de la température, présente moins d'intérêt.

*[The page contains extremely faint, illegible handwriting, likely bleed-through from the reverse side of the paper. The text is mirrored across the horizontal fold.]*

Notons encore, qu'il n'y a qu'une <sup>genre</sup> ~~sorte~~ de similitude ~~possible~~ ~~pour~~ ~~les~~ ~~gaz~~ ~~différents~~ lorsque la pesanteur intervient comme force extérieure:

$m \equiv \sqrt{n}$ ;  $h \equiv n$ ;  $b \equiv \frac{1}{\sqrt{n}}$ ; c'est ce

qui peut être appliqué aux courants de convection qui naissent par suite de différences de température.

§ 11. La similitude dynamique, s'applique-t-elle aussi aux mouvements de gaz différents? Pour <sup>trancher</sup> ~~trancher~~ cette question, on ~~substitue~~ <sup>changera</sup> dans les équations (10, 12) <sup>aussi les coefficients</sup> ~~des variables~~ ~~normales~~

$R, k, \mu, \kappa$ . Evidemment, par suite de (12), toute similitude est exclue pour des gaz <sup>pour lesquels les</sup> à différentes valeurs de  $k$ . ~~ont~~ <sup>sont</sup> différentes

Donc Supposons  $k$  égal, et ~~mettons~~ <sup>posons</sup>  $\alpha R$  au lieu de  $R$

$\beta \mu$  "  $\mu$   
 $\gamma \kappa$  "  $\kappa$

On trouve

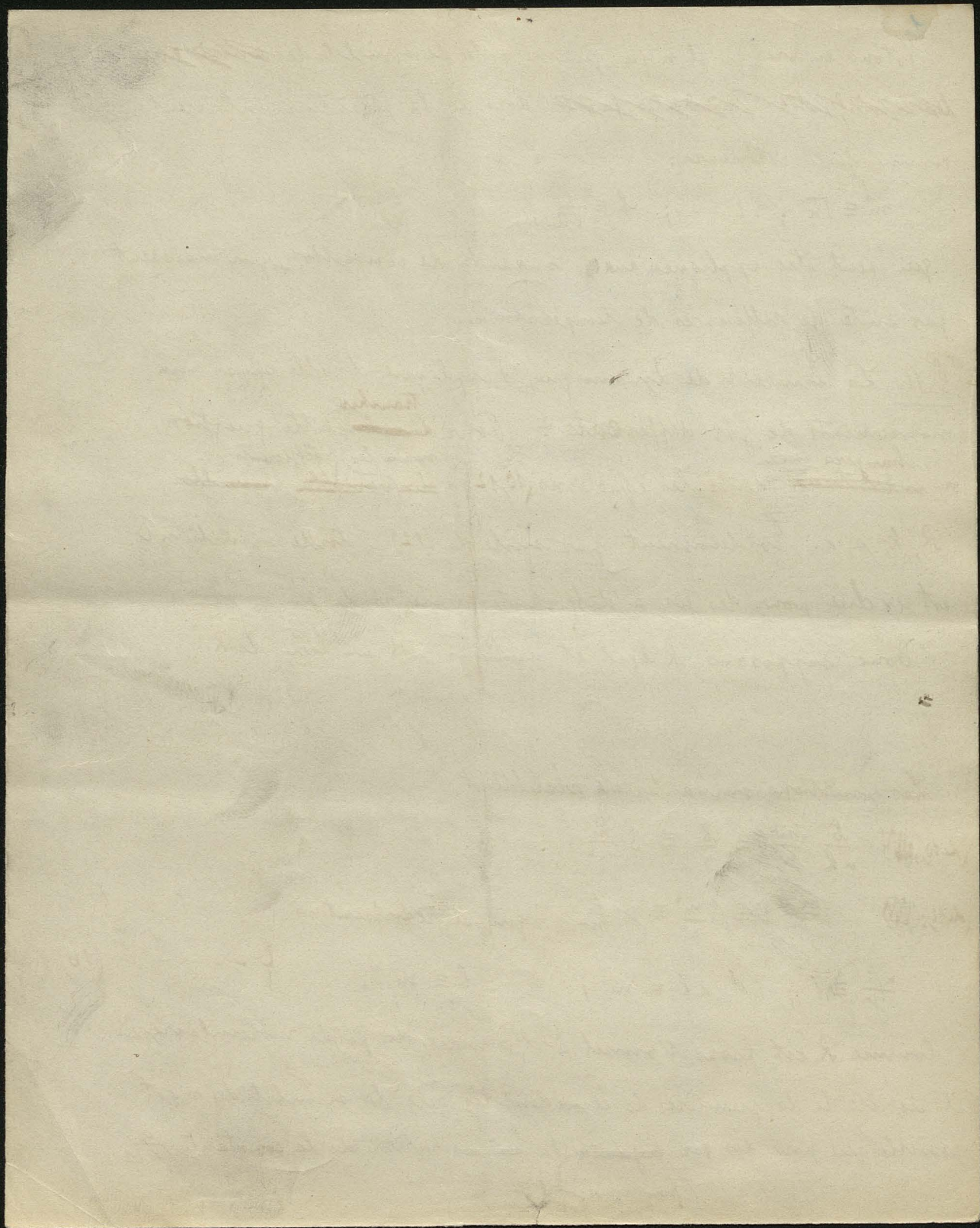
les conditions suivantes en résolvant:

(de 10):  $\frac{b}{\alpha h} \frac{m^2}{n} \equiv \frac{b}{n} \equiv \beta \frac{m}{n^2}$

(de 12):  $\frac{m b}{n} \equiv \beta \frac{m^2}{n^2} \equiv \gamma \frac{h}{n^2}$  qui se réduisent à

$\frac{\alpha \beta}{\gamma} \equiv 1$ ;  $\alpha h \equiv m^2$ ;  $n b \equiv m \beta$ . } - - - - (16)

Comme  $R$  est proportionnel à l'inverse du poids moléculaire  $M$ , il résulte de la première de ces identités que la similitude n'est possible que pour des gaz ~~ayant~~ <sup>(pour lesquels)</sup> la même valeur de la constante  $\frac{\mu}{kM}$  est la même.



Le tableau suivant des coefficients  $\frac{\kappa}{\mu}$  (<sup>rapportés</sup> ~~rapportés~~ à l'air) multipliés par  $M$ , prouve que (cette condition est satisfaite pour plusieurs gaz) avec une approximation remarquable :

$k=1.4$	$H_2$	$O_2$	$N_2$	$CO$	$NO$
$\frac{\kappa M}{\mu}$	$\frac{6.7.2}{0.50} = 27$	$\frac{10.32}{1.4} = 29$	$\frac{10.28}{0.97} = 29$	$\frac{0.98.28}{0.97} = 28$	$\frac{0.95.30}{0.98} = 29$

$k=1.3$	$CO_2$	$N_2O$	$CH_4$	$NH_3$
$\frac{\kappa M}{\mu}$	$\frac{0.64.44}{0.82} = 34$	$\frac{0.67.44}{0.82} = 36$	$\frac{1.37.16}{0.62} = 35$	$\frac{0.92.17}{0.57} = 27$

Ci quelques ~~spéciales~~ des considérations précédentes :  
Voilà ~~des exemples~~ applications à quelques problèmes ~~spéciaux~~.

§12. Posons  $h=1$ ,  $b=1$ ; donc  $m^2 = \alpha$ ,  $n = m\beta = \beta\sqrt{\alpha}$ .

Pour une certaine température et une certaine distribution de pression, il y a des mouvements ~~spéciaux~~ semblables dans deux vases ~~vaseaux~~ semblables, dont les dimensions sont proportionnelles aux coefficients  $\frac{\mu}{\sqrt{M}}$  des gaz renfermés; ~~alors~~ les vitesses ~~seront~~ <sup>alors</sup> proportionnelles à  $\frac{1}{\sqrt{M}}$ .

d). En ~~traitant~~ <sup>rapprochant</sup> ce théorème ~~avec~~ <sup>de</sup> la loi <sup>(approximative)</sup> de Graham et Bunsen, qui ~~prétend~~ <sup>admet</sup> la proportionnalité <sup>(approximative)</sup> du volume des différents gaz différents ~~passants~~ <sup>passants</sup> à travers une ouverture dans une lame mince, à  $\frac{1}{\sqrt{M}}$ , <sup>en</sup> ~~on~~ <sup>suivant</sup> déduit le résultat: que la quantité de gaz s'écoulant par des ouvertures différentes — à constante différence de pression —



est proportionnelle à la surface de l'ouverture.

β). Supposons un conduit long et étroit, qui serait traversé par des volumes de gaz <sup>différents</sup> proportionnels à leur coefficient de fluidité  $\frac{1}{\mu}$ .

— Notre théorème <sup>prouve</sup> établit ~~la conclusion~~ que le volume du gaz, passant par de ~~telles~~ ~~telles~~ conduits semblables, sera proportionnel ~~à~~ au cube de leurs dimensions linéaires. C'est <sup>ce</sup> un résultat <sup>est</sup> plus général, en quelque sorte, que la formule de Poiseuille <sup>-Meyer. s'applique</sup> qui ~~affirme~~ dans le cas <sup>particulier</sup> ~~particulier~~ d'un tube régulier circulaire.

γ). Un raisonnement analogue concernant des corps projetés <sup>(montre)</sup> que la pression de résistance sera proportionnelle à leurs dimensions linéaires, si l'on suppose que, pour des gaz différents, elle change en raison du produit de la viscosité et de la vitesse ~~et~~ qu'elle sera proportionnelle aux dimensions superficielles, si le produit de la densité et du carré de la vitesse en définit la valeur.

~~Les derniers résultats ne sont pas nouveaux, mais leurs relations aux suppositions primaires sont bien mises en évidence par cette simple méthode, qui par son exactitude diffère des calculs usuels approximatifs, et qui donne des indications quand il faut s'attendre à un écart des formules.~~

~~Et tous~~ <sup>encore</sup> un <sup>autre</sup> exemple :

δ). Joule et Kelvin <sup>\*</sup>) ont mesuré l'élévation de température  $\Delta\theta$

<sup>\*</sup>) Kelvin, Mathem. Phys. Papers I p. 400, 445.



que subissent des corps (thermomètres, fils formant des couples thermoélectriques) <sup>qui</sup> traversent l'air avec une certaine vitesse.

— Les expériences <sup>des Savants anglais</sup> démontrent la proportionnalité très approximative de  $\Delta\theta$  au carré de la vitesse [comprise entre  $30 \frac{m}{sec}$  et  $100 \frac{m}{sec}$ ] et son indépendance de la forme et de la grandeur du corps

[à peu près  $1^\circ C$  par  $55 \frac{m}{sec}$ ]. <sup>serait</sup> ~~soit~~ à vitesse  $v$

Imaginons 1. un corps donné, dans l'air 2. un deuxième, pareil, dans un autre gaz 3. un troisième dans le gaz donné, à dimensions augmentées en raison de  $\sqrt{\frac{M_0}{M}}$ , et doué d'une vitesse

~~diminuée en raison~~  $v \sqrt{\frac{M_0}{M}}$ ; en appliquant notre théorie à la comparaison des <sup>corps</sup> 1-3, le résultat empirique de Kelvin à <sup>la comparaison des corps</sup>  $\sqrt{3-2}$ ,

nous pouvons ~~pré~~ dire que: dans des gaz différents (mais ~~distincts~~ <sup>qui diffèrent</sup> pour lesquels  $k$  a la même valeur de  $k$ ) un corps animé de la vitesse  $v$  s'échauffera proportionnellement à la quantité   
 en mesure de  $\Delta\theta = a M v^2$ , W. J. C.

c'est-à-dire en raison du poids spécifique du gaz et du carré de la vitesse. <sup>Il résulte en outre de</sup> l'application des théorèmes <sup>du</sup> § 8 et <sup>du</sup> § 9 ~~résulte~~, en outre, le résultat inattendu que la constante  $a$  est indépendante de la pression du gaz et de sa température. ~~essentielle~~

Si <sup>l'extension</sup> l'extrapolation de cette formule <sup>à</sup> pour des vitesses supérieures à la vitesse du son était permise, on pourrait évaluer, par exemple, l'échauffement d'un météore traversant l'air à une vitesse

30 000 000

*[Handwritten mark]*

~~\_\_\_\_\_~~

~~\_\_\_\_\_~~

~~\_\_\_\_\_~~

*[Faint, illegible handwriting throughout the lower half of the page]*

de 2.8 km à 2500° C.

25

Il faut noter que la formule empirique ne s'applique plus aux vitesse petites (moindres que  $30 \frac{m}{sec.}$ ), mais les mesures n'étaient pas <sup>moment exactes</sup> suffisantes pour mettre en évidence ~~la modification~~ <sup>et les écarts</sup> de la loi en question.

~~En~~ Supposons:

§ 13. ~~Supposition~~  $(h=1, n=1; \text{ donc: } m=\sqrt{\alpha}, l=\beta\sqrt{\alpha} :$

Même ~~mesure~~ <sup>vale</sup> même température; les mouvements de différents gaz seront semblables, pourvu que les pressions soient en raison de ~~leurs~~  $\frac{m}{M}$ ; alors les vitesses (et les volumes) seront proportionnels à  $\frac{1}{\sqrt{M}}$ .

2). En effet, cette proposition ~~est remplie par~~ <sup>s'accorde avec</sup> la formule ordinaire pour la vitesse du son, et aussi <sup>avec</sup> par la formule de Kirchhoff

[§ 9a, -] pour des tuyaux. De plus,

~~On~~ <sup>on</sup> voit-on facilement que la formule de Strouhal (§ 9  $\frac{r}{p}$ ), pour la hauteur du son produit par le mouvement d'un corps cylindrique, entraîne l'identité de la constante  $c$  pour les gaz <sup>Divers</sup> ~~divers~~, c'est-à-dire ~~( $c$  est~~ <sup>que le</sup> indépendante du son de la qualité du gaz.

— Nous ne connaissons pas encore d'expériences ~~là-dessus~~ à ce sujet.

— Le même <sup>que</sup> ~~Vandenberg~~ <sup>Vandenberg</sup>, ayant établi la formule (§ 9  $\delta$ ) pour l'air, aurait pu <sup>en conclure</sup> ~~conclure~~ a priori, que la largeur des ~~canalures~~ <sup>est</sup> indépendante de la nature du gaz, ce que <sup>ont</sup> ~~ont~~ démontré ses expériences, <sup>de même</sup> ~~ainsi comme~~ nous pouvons prédire (d'après § 8) qu'on la trouvera indépendante de la température. w d. c.

1844

*[Faint, mostly illegible handwriting, possibly bleed-through from the reverse side of the page.]*

Sur laquelle elle repose

~~Les~~ <sup>semblables</sup> ~~considérations~~ <sup>semblables</sup> peuvent souvent faciliter les recherches expérimentales et ~~on~~ étendre la portée des résultats obtenus.

β). Le rapport du volume d'un gaz <sup>qui</sup> s'écoule à <sup>l'active</sup> la différence de pression sera, pour des gaz différents, proportionnel à leur fluidité:

$\frac{V}{p_1 - p_2} \sim \frac{1}{\mu}$  si l'on y emploie des pressions correspondantes.

En vertu de cette conclusion, on peut <sup>appliquer</sup> ~~introduire~~ un procédé plus exact <sup>aux</sup> ~~des~~ mesures de la viscosité. ————— w. d. c.

— La formule de Poiseuille-Meyer  $\frac{V}{p_1 - p_2} = \frac{R^4 n}{8 L \mu}$  ne tient

compte ni de l'inertie du gaz, ni de l'effet visqueux de la variabilité de la vitesse le long du tube, ni des différences de

température (§ 27). (Toutant on peut trouver la valeur exacte de la viscosité relative; en n'employant pas des pressions non pas

quelconques, mais des pressions proportionnelles à  $\sqrt{\mu}$  pour les gaz divers. Il est remarquable que ce résultat <sup>est</sup> indépendant

de la forme du tube ou de l'orifice, <sup>et qu'il subsiste</sup> même pour l'effusion <sup>écoulement</sup> par un trou dans une lame mince.

γ). ~~Aussi~~ La méthode de Maxwell-Meyer des "disques oscillants" qui n'est pas ~~sans~~ <sup>pourtant à l'abri des</sup> objections, à cause de l'inexactitude de la théorie

mathématique <sup>aussi</sup> peut servir à des mesures exactes de la viscosité; seulement il faut employer des pressions correspondantes, et la

*[Faint, illegible handwriting at the top of the page]*

$\frac{V}{5}$   
 $\frac{1}{2}$

*[Faint, illegible handwriting in the middle section]*

*[Faint, illegible handwriting in the lower middle section]*

*[Faint, illegible handwriting in the bottom section]*

suspension du disque doit varier de ~~tel~~ sorte, qu'on puisse produire <sup>des quarts</sup> ~~un temps~~ d'oscillation proportionnel<sup>es</sup> à  $\sqrt{M}$ .

Évidemment, tout ce qui a été dit s'applique ~~à toute rigueur~~ <sup>seulement</sup> ~~seulement~~ sous condition que  $k$  et  $\frac{kM}{\mu}$  soient égaux, ~~pour les deux~~ <sup>et même</sup> gaz comparés, ~~mais~~ lorsqu'il y a des petites différences, ~~elles~~ ces ~~parallèles~~ mesures seront plus exactes, que d'après les méthodes ordinaires. \*)

\*) On en pourrait profiter pour élucider la cause des divergences <sup>qui existent</sup> (entre les résultats, donnés par les deux méthodes mentionnées, problématique jusqu'à présent) [Sitzmann Wied. Ann. 23 p. 353 (1884)]

### III. Phénomènes thermiques d'écoulement.

§ 14. Dans ce chapitre, nous nous proposons d'appliquer nos équations à l'examen des phénomènes thermiques qui se manifestent dans un gaz s'écoulant par des tubes ou des orifices, phénomènes <sup>qui ont fait le</sup> ~~objet~~ des célèbres recherches de Joule et de Kelvin. \*) — w d. c. —

Il est vrai, ~~essentiellement~~ <sup>possible</sup>, qu'il n'y a pas de doute <sup>quant à</sup> ~~l'interprétation~~ <sup>générale</sup> de ces expériences, ~~ainsi qu'elles appartiennent~~ <sup>lesquelles sont</sup> ~~à l'incontournable~~ <sup>en</sup> ~~domaine~~ <sup>thermodynamique</sup>; ~~expérimentales~~ <sup>mais cependant</sup>, leur explication détaillée <sup>offre des difficultés</sup> ~~reste sur des obstacles~~, qui ne peuvent être <sup>résolues</sup> ~~vainement~~ que par une théorie <sup>(détaillée) aérodynamique</sup>. Ainsi l'explication usuelle <sup>(du phénomène Joule-Kelvin)</sup> ~~ne prend pas en considération~~ <sup>tient pas compte de</sup>

\*) Kelvin Mathem. Physik. Papers I p. 333; Joule Mechan. Wärmeäquivalent, Braunschweig 1872.

~~\_\_\_\_\_~~  
~~\_\_\_\_\_~~  
~~\_\_\_\_\_~~  
~~\_\_\_\_\_~~

~~\_\_\_\_\_~~  
~~\_\_\_\_\_~~  
~~\_\_\_\_\_~~

~~\_\_\_\_\_~~  
~~\_\_\_\_\_~~  
~~\_\_\_\_\_~~  
~~\_\_\_\_\_~~  
~~\_\_\_\_\_~~

~~\_\_\_\_\_~~  
~~\_\_\_\_\_~~  
~~\_\_\_\_\_~~  
~~\_\_\_\_\_~~  
~~\_\_\_\_\_~~  
~~\_\_\_\_\_~~

~~\_\_\_\_\_~~  
~~\_\_\_\_\_~~

variabilité de <sup>la</sup> vitesse et peut être de <sup>la</sup> température dans les différentes couches du gaz ; ~~on~~ <sup>on</sup> ~~comprend~~ <sup>aisément</sup> ~~qu'il y a~~ <sup>ait</sup> un abaissement de température dans un gaz qui ~~se contracte~~ <sup>se dilate</sup>, mais la manière dont il se répartira sur le gaz ~~qui s'échappe~~ <sup>qui s'échappe</sup> ~~et celui qui reste dans le réservoir,~~ <sup>sur</sup> n'est pas ~~certaine~~ évidente.

~~Donc~~ <sup>Donc</sup> nous transformerons l'équation (12) en la multipliant par un élément de volume <sup>en</sup>  $dV$  et l'intégrant sur toute l'espace en question.

Remarquons, en outre, que

$$\iiint \rho \operatorname{div} d\omega = \iint \rho (u l + v m + w n) dS - \iiint \left( u \frac{\partial \rho}{\partial x} + v \frac{\partial \rho}{\partial y} + w \frac{\partial \rho}{\partial z} \right) d\omega \quad \dots \dots \dots (17)$$

introduisons les valeurs de  $\frac{\partial \rho}{\partial x}$ ,  $\frac{\partial \rho}{\partial y}$ ,  $\frac{\partial \rho}{\partial z}$  <sup>données par</sup> de (10) et transformons les intégrales triples — exceptée celle qui renferme  $\frac{\partial}{\partial t}$  — ~~en~~ <sup>en</sup> intégrales doubles. En désignant la vitesse normale à la surface par  $v_n$ , la vitesse totale par  $V = \sqrt{u^2 + v^2 + w^2}$ , nous obtenons l'équation

$$\begin{aligned} \frac{\partial}{\partial t} \iiint \left[ \frac{\rho}{k-1} + \rho \frac{V^2}{2} \right] d\omega + \iint \left[ \left( \frac{k}{k-1} \rho + \rho \frac{V^2}{2} \right) v_n - \frac{\mu}{3} v_n \operatorname{div} - \mu \frac{\partial}{\partial n} \left( \frac{V^2}{2} \right) \right] dS + \\ + \mu \iiint \left[ \left( \frac{\partial u}{\partial x} \right)^2 + \left( \frac{\partial u}{\partial y} \right)^2 + \left( \frac{\partial u}{\partial z} \right)^2 + \left( \frac{\partial v}{\partial x} \right)^2 + \dots + \frac{1}{3} (\operatorname{div})^2 \right] d\omega = \iint \Phi d\omega + k \iint \frac{\partial \theta}{\partial n} dS \quad \dots \dots (18) \end{aligned}$$

L'intégrale triple de gauche multipliée par  $\mu$ , annule les termes correspondants de  $\Phi$ ; ~~et~~ les autres peuvent être transformés par intégration partielle d'après la formule

$$\iiint \left( \frac{\partial w}{\partial y} \frac{\partial v}{\partial z} - \frac{\partial w}{\partial z} \frac{\partial v}{\partial y} \right) d\omega = \iint w \left( m \frac{\partial v}{\partial z} - n \frac{\partial v}{\partial y} \right) dS \quad \dots \dots (19)$$

*[Faint, illegible handwriting]*

~~No flux on December 1st~~

*[Faint, illegible handwriting]*

*[Faint, illegible handwriting]*

~~[Signature]~~

<sup>en</sup> une intégrale, désignée par l'expression symbolique

$$\iint [(u \frac{\partial}{\partial x} + v \frac{\partial}{\partial y} + w \frac{\partial}{\partial z})(u l + v m + w n) - v_n \text{div}] dS = \iint [(u \frac{\partial}{\partial x} + v \frac{\partial}{\partial y} + w \frac{\partial}{\partial z}) v_n - v_n \text{div}] dS$$

Le résultat final, est l'équation :

$$\frac{\partial}{\partial t} \iint [\frac{\rho}{k-1} + \rho \frac{V^2}{2}] dV + \iint [\frac{k}{k-1} \rho + \rho \frac{V^2}{2}] v_n + \frac{2}{3} \mu v_n \text{div} - \mu \frac{\partial}{\partial n} (\frac{V^2}{2}) - \mu (u \frac{\partial}{\partial x} + v \frac{\partial}{\partial y} + w \frac{\partial}{\partial z}) v_n \} dS = = \kappa \iint \frac{\partial \theta}{\partial n} dS \dots \dots \dots (20)$$

§ 15. Lorsque le courant du gaz est stationnaire, le premier terme de cette équation disparaît. Le reste, l'intégrale double, peut être appliquée à la surface d'un <sup>de flux d'écoulement</sup> tube ~~de flux~~ <sup>(de longueur d,</sup> formé par deux coupes sections transversales q<sub>1</sub> et q<sub>2</sub>. En égard à l'équation de continuité, qui prend la forme  $\rho v q = \text{const.}$ , on aura :

$$\frac{k R}{k-1} (\theta_1 - \theta_2) + \frac{V_1^2 - V_2^2}{2} + \frac{2}{3} \mu \left[ \frac{\text{div}_1}{\rho_1} - \frac{\text{div}_2}{\rho_2} \right] - \mu \left[ \frac{1}{\rho_1} \frac{\partial V_1}{\partial s} - \frac{1}{\rho_2} \frac{\partial V_2}{\partial s} \right] = = \frac{1}{\rho V q} \iint \left[ \mu \frac{\partial}{\partial n} (\frac{V^2}{2}) + \kappa \frac{\partial \theta}{\partial n} \right] dS \dots \dots \dots (21)$$

Donc, la différence de température <sup>en deux</sup> dans ~~deux~~ <sup>deux</sup> points de la même ~~ligne de flux~~ <sup>de flux</sup> est en relation avec les valeurs de  $\frac{\partial V}{\partial s}$  et  $\text{div}$  et du carré de la vitesse, <sup>en</sup> ces deux points, ~~mais~~ <sup>et</sup> aussi avec la longueur <sup>u</sup> du chemin entre les deux points, qui définit la valeur de  $\frac{1}{\rho V q}$  intégrale dernière. Dans les endroits où le gaz se meut avec <sup>une</sup> lenteur et <sup>une</sup> uniformité suffisantes, <sup>par exemple</sup> comme à l'intérieur de deux réservoirs, qui communiquent par un tube étroit, on peut



négliger ces premiers termes, mais on ne peut pas faire de même avec l'intégrale  $\int$  qui dépendra de la distribution des vitesses et de la température entre ces deux points et qui, en général, ne sera pas négligeable. <sup>Cela</sup> serait vrai, par exemple, si l'équation

~~soit~~  $\nabla^2 \left[ \frac{\rho V^2}{2} + \kappa \theta \right] = 0$ ;      avait lieu — mais évidemment, ce serait un cas tout exceptionnel.

A). Donc, on ne peut pas prétendre que la température d'un gaz, s'écoulant d'une manière ~~soit~~ stationnaire, reste invariable; ses différentes couches auront des températures différentes.

§ 16. Le théorème de constance de <sup>la</sup> température ne s'applique que dans un cas particulier, à la température moyenne.)

(Ce que nous appelons température moyenne d'un profil, c'est la température qui s'établirait dans le gaz, passant par une surface orthogonale <sup>de flux</sup> ~~d'écoulement~~ aux lignes ~~de flux~~, si toutes ses couches étaient mélangées d'une façon complète — c'est à dire:

$$\Theta = \frac{\sum \theta \rho V g}{\sum \rho V g} \quad \text{ou} \quad \dots \dots \dots (22)$$

où la sommation s'étend sur tous les éléments de la surface orthogonale.)

Supposons, ~~par soi~~ pour fixer les idées, que le point 1 soit situé à l'intérieur du réservoir 1, où les conditions de lenteur et d'uniformité du mouvement sont satisfaites. Envisageons

~~Handwritten scribble~~

*[Faint, illegible handwriting, likely bleed-through from the reverse side of the page]*

~~Vase~~

(22)

$$\frac{V_{30} V}{V} = \frac{V}{V}$$

*[Faint, illegible handwriting, likely bleed-through from the reverse side of the page]*

maintenant par les équations (21) ou (20) et notons le fait que les parois du <sup>réservoir</sup> ~~vaisseau~~ et du <sup>conduit</sup> ~~tube~~ sont formées par des tubes de flux adhérents, c'est-à-dire qu'on peut développer  $V$  en désignant la distance d'un point des parois par  $\delta n$  — de la façon suivante:

$$V = \delta n \left( \frac{\partial V}{\partial n_0} \right), \text{ par conséquent: } \frac{\delta}{\delta n} (V^2) = 2 \delta n \cdot \left( \frac{\partial V}{\partial n_0} \right)^2$$

ce qui disparaît ~~par~~ à la surface (pour  $\delta n = 0$ ) de même que  $V$ .

Donc, on aura pour la température moyenne l'équation

$$\frac{kR}{k-1} [\theta_0 - \Theta] = \frac{\frac{1}{2} \sum \rho q V^2 + \mu \sum \left( \frac{2}{3} \text{div} + 2 \frac{\partial V}{\partial n} \right) q V + \int k \frac{\partial \theta}{\partial n} dS}{\sum \rho q V} \dots \dots \dots (23)$$

L'intégrale  $\int k \frac{\partial \theta}{\partial n} dS$  ~~peut~~ peut être divisée en trois parties <sup>sections</sup> qui correspondent aux parois du vaisseau et aux deux ~~composés~~ transversales. La partie première sera nulle, si l'on suppose que les parois sont des isolateurs <sup>idéaux</sup> ~~idéaux~~ de la chaleur; de même les deux autres, si la <sup>section</sup> coupe passe par des endroits où il y a uniformité suffisante.

B. Donc, dans des endroits où le courant stationnaire est assez lent et uniforme, la température moyenne du gaz <sup>qui</sup> s'écoulant est égale à celle qui règne dans le réservoir primaire. — W. d. c. —

— C'est ce qu'ont démontré les expériences de Joule et Kelvin sur le gaz qui présente les moindres écarts de la loi Boyle-Charles,

99

(23)

$$\begin{aligned}
 & 24 \frac{45}{100} \times 100 - 77 \frac{1}{2} \times 100 + 1 \frac{1}{2} \times 100 = 2445 - 7750 + 150 \\
 & = -5155 + 150 = -5005
 \end{aligned}$$

~~99~~

99

l'hydrogène, et où le bouchon de <sup>remplace</sup> ~~ouate~~ représente un système de tubes d'efflux. Il serait intéressant, d'autre part, de vérifier notre résultat précédent, concernant les différences de température dans les couches diverses d'un gaz quittant un tube étroit, <sup>résultat</sup> qui distingue notre théorie du raisonnement usuel. — W. D. C.

Cette différence provient de ce que le travail dans un gaz visqueux n'est pas donné par  $\int (u l + v m + w n) p dS'$ , mais par  $\int (u p_{xx} + v p_{yy} + w p_{zz}) dS$ . L'identité de ces deux expressions peut être démontrée facilement, pour le mouvement stationnaire, à l'aide de transformations semblables à celles du § 14, mais seulement pour toute la quantité du gaz comprise entre les parois et les deux <sup>sections</sup> ~~surfaces~~ dans les réservoirs, et non pas pour <sup>des</sup> ~~les~~ tubes de flux singuliers <sup>considérés</sup> ~~particuliers~~ pris isolément.

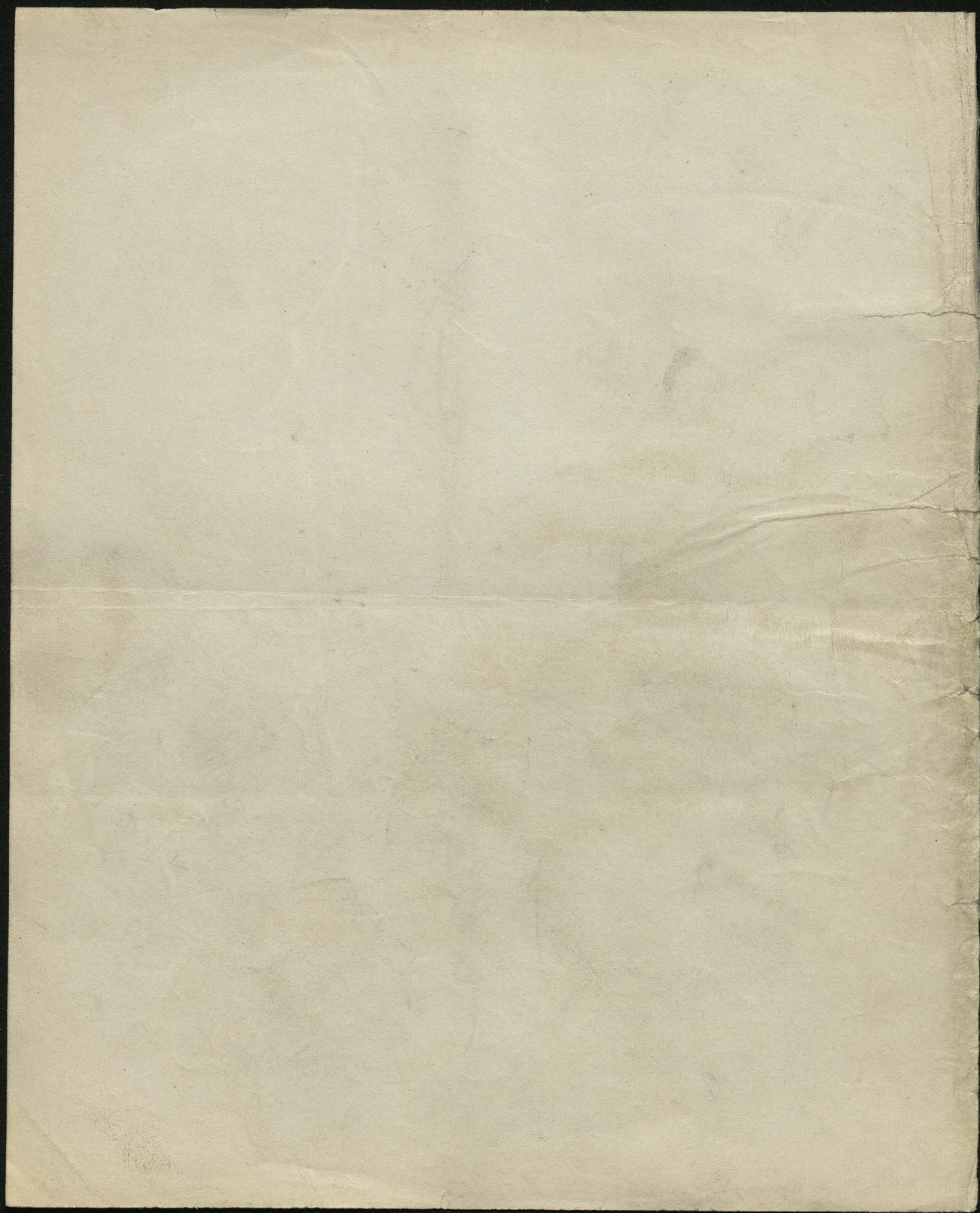
Evidemment, ces remarques ne <sup>concernent</sup> ~~regardent~~ pas du tout les conclusions qu'on tire du phénomène de Joule et Kelvin, concernant les écarts de la loi Boyle Charles.

§ 17. Envisageons encore l'équation (21) et considérons que, pour les tubes de flux adhérents aux parois:  $\nabla \cdot \mathbf{v}$ ,  $\text{div } \mathbf{v}$ , et  $\frac{\partial \mathbf{v}}{\partial s}$  sont nuls. Puisque la température dans ces couches doit rester finie, ceci entraîne la conclusion, que l'intégrale de droite

Faint, illegible handwriting, likely bleed-through from the reverse side of the page.

Faint, illegible handwriting, likely bleed-through from the reverse side of the page.

[ buku tulis k.33 ]



$$-\frac{k}{k-1} R \frac{d\theta}{ds} = V \frac{dV}{ds} = -\frac{1}{\rho} \frac{d\rho}{ds}$$

dont l'intégration, en combinaison avec la loi D. Ch. mène à la

formule ordinaire de détente adiabatique:

$$\frac{\theta}{\theta_0} = \left(\frac{\rho}{\rho_0}\right)^{\frac{k-1}{k}} = \left(\frac{p}{p_0}\right)^{\frac{k-1}{k}} \quad \dots \dots \dots (26)$$

Habitue' à considérer ~~On est accoutumé de voir~~ cette formule ~~supposée~~, comme évidente à priori, dans des ces appareils. ~~Comme c'est évident, en réalité, que~~ ~~des gaz réels (la simple inclusion le démontre) qu'elle~~ !

exigerait un refroidissement d'un courant stationnaire, correspondant à la chute de pression de  $p_1$  à  $p_2$ :  $\theta_2 = \theta_1 \left(\frac{p_2}{p_1}\right)^{\frac{k-1}{k}}$

tandis que nous avons vu <sup>au</sup> dans § 16, que la température moyenne reste invariable.

C). L'équation (24) au contraire, reste applicable avec une certaine approximation dans ce cas, pour un gaz visqueux, puisque l'abaissement de température ne correspond pas à <sup>une</sup> l'expansion, mais <sup>à un</sup> au gain d'énergie cinétique.

(La température s'abaisse le plus où la vitesse est maximale, p. ex. à l'orifice d'une bombe à gaz comprimé, et c'est cet abaissement <sup>\*)</sup> qui a été utilisé par divers observateurs <sup>pour</sup> et la liquéfaction des gaz, d'après la méthode dynamique.

À mesure que le gaz perd sa vitesse, il regagne aussi sa température <sup>première</sup> par suite de la chaleur de friction. Donc, l'emploi direct <sup>\*)</sup> <sup>Aug. Becquerel</sup> par suite du phénomène "Joule Thomson" Kelvin.

 = bilité

~~99~~ 9

99

de l'équation (26) n'est justifié que <sup>dans le cas d'</sup> ~~pour~~ une expansion infinement lente; autrement il faut employer l'équation complète (21), <sup>dans le</sup> ~~ou~~ cas des vitesses grandes l'équation approximative (24) et dans les cas où la conductivité <sup>de la</sup> de chaleur est prépondérante, on peut supposer l'isothermie.

§ 19. Jusqu'ici nous avons supposé, que le courant reste stationnaire, par conséquent, que la pression dans les réservoirs <sup>est</sup> ~~est~~ maintenue constante — p. ex. à l'aide d'un dispositif pareil à celui des gasomètres, ou de la bouteille de Mariotte, ou bien par suite de la communication avec une source constante de gaz. Mais au moment

où nous interrompons l'efflux, <sup>de sorte</sup> ~~par~~ que le gaz ne <sup>sort</sup> ~~peut~~ ~~pas~~ ~~pas~~ <sup>que par</sup> expansion du contenu du réservoir, la distribution de température ~~commencera~~ à changer, puisqu'alors il faut ajouter à la partie

droite de l'équation (21) le terme  $-\frac{\partial}{\partial t} \iiint \left( \frac{R\theta}{k-1} + \frac{V^2}{2} \right) dm$

Si la température ~~de gaz~~ était invariable dans toute l'étendue du gaz, on aurait par suite de l'équation de continuité:

$$\frac{\partial}{\partial t} \iiint \frac{R\theta}{k-1} dm = - \iiint \frac{R\theta}{k-1} \rho v_n dS$$

Mais au cas en question, le terme de droite est plus grand, ce qui signifie que la température s'abaissera à l'intérieur du réservoir, où les vitesses sont petites et la température uniforme, on aura, d'après (20):

$$\frac{\partial \theta}{\partial t} \iiint dV = -k\rho \iiint v_n dS \quad \dots \dots \dots (27)$$

*[The page contains extremely faint, illegible handwriting, likely bleed-through from the reverse side of the paper. The text is mirrored and difficult to decipher.]*

ce qui, joint à l'équation de continuité

$$\frac{\partial \rho}{\partial t} \iint dV = -\rho \iint v_n dS \quad \text{--- (28)}$$

donne le ~~résultat~~  $\rho = \rho_0 e^{-\frac{k}{\rho_0} \iint v_n dS dt}$  --- (29)

[ $\Omega$  désignant le volume total du réservoir 1] et la formule (26).

D). Donc, à l'intérieur du réservoir 1, la pression et la température s'abaissent d'après la formule ordinaire de détente adiabatique.

§ 20. Dans le tuyau de décharge, le problème sera plus compliqué et ne peut être ~~supposé~~ <sup>analysé</sup> que par <sup>d'une</sup> moyen ~~de~~ solution détaillée, mais on peut trouver la température approximative du gaz qui

l'a traversé. Appliquons les équations (27, 28) à deux ~~ou~~ sections transversales, l'une située dans le réservoir 1, pris de son issue, l'autre au réservoir 2, pris de l'entrée, et désignons les volumes correspondants par  $\Omega_1$  et  $\Omega_2$ . ~~Si~~ On obtient les équations:

Pour  $\Omega_1$ , comme plus haut:

$$\Omega_1 \frac{dp_1}{dt} + k p_1 \iint_1 v dS = 0 \quad \left. \begin{array}{l} \\ \\ \end{array} \right\} \text{--- (30)}$$

$$\Omega_1 \frac{dp_1}{dt} + \rho_1 \iint_1 v dS = 0$$

Pour  $\Omega_2$ , en négligeant le volume du conduit, d'une manière analogue

$$\frac{d}{dt} (\Omega_1 p_1 + \Omega_2 p_2) + k \iint_2 p_2 v dS = 0 \quad \left. \begin{array}{l} \\ \\ \end{array} \right\} \text{--- (31)}$$

$$\frac{d}{dt} (\Omega_1 p_1 + \Omega_2 p_2) + \rho_2 \iint_2 v dS = 0$$

↑ où la pression diminue?

En divisant (31,1) par (31,2) et en ~~supposant~~ <sup>diminuant</sup> ~~que~~  $\Omega_2$  en comparaison avec  $\Omega_1$  on obtient

$$k \frac{p_2}{p_1} = \frac{\cancel{k} \Omega_2}{\cancel{k} \Omega_1} = \frac{d(\Omega_1 p_1 + \Omega_2 p_2)}{d(\Omega_1 p_1 + \Omega_2 p_2)} = \frac{dp_1}{dp_1} = k \frac{p_1}{p_1} = \cancel{k} \frac{\Omega_1}{\Omega_1}$$

c'est à dire:  $\theta_2 \approx \theta_1$ .

(Pourvu que les ~~hypothèses~~ <sup>hypothèses</sup> de l'énoncé B soient remplies) dans le E). Donc la température moyenne du gaz entrant ~~au~~ <sup>(approximativement)</sup> réservoir 2 sera (la même que celle du gaz renfermé dans le réservoir 1, qui s'écoule ~~à l'état~~ d'après la formule adiabatique (quoique la pression soit inférieure).

On peut vérifier ce résultat, qui est basé ~~évidemment~~ <sup>évidemment</sup> sur les suppositions de l'énoncé B, en calculant ~~la~~ <sup>le</sup> travail extérieur et la quantité de chaleur "absorbée", ce qui donne des valeurs égales  $= V \frac{(p_0 - p_1)}{k}$ , moindres ~~évidemment~~ <sup>évidemment</sup> que des les valeurs <sup>qui</sup> correspondantes à une expansion réversible.

§ 21. Ces résultats méritent <sup>d'attirer</sup> l'attention des physiciens qui étudient l'effusion <sup>(la transpiration)</sup> et <sup>analogues</sup> les phénomènes ~~similaires~~, parce qu'ils démontrent l'incertitude des recherches sur l'afflux stationnaire exécutés à l'aide de réservoirs fermés <sup>(à pression baissante)</sup>.

Ainsi <sup>\*)</sup> Donnan en mesurant le temps nécessaire à un abaissement de la pression dans le réservoir de 525 mm. à 322 mm. n'a pas

\*) Philos. Magazine 49 p. 423 (1900)

*[The page contains extremely faint, illegible handwriting, likely bleed-through from the reverse side of the paper. The text is too light to transcribe accurately.]*

obtenus, en réalité, des nombres relatifs pour le temps nécessaire  
d'effusion des gaz divers, puis que la température ne restait pas  
constante, comme il croyait, égale à  $25^{\circ}\text{C}$ , mais pouvait s'abaisser:  
pour l'air à  $-14^{\circ}\text{C}$ ; pour  $\text{CO}_2$  à  $-9^{\circ}\text{C}$ ; pour l'argon à  $-28^{\circ}\text{C}$ .

— Les nombres <sup>sont</sup> ~~sont~~ exagérés sans doute puisque les différences  
devaient être ~~minimales~~ <sup>diminuées</sup> ~~importantes~~ <sup>suite de la</sup> par conduction de la chaleur aux  
parois du vaisseau, mais en tout cas, cette grave source d'erreurs  
indique la nécessité de l'emploi des géomètres à pression  
constante ~~comme l'appareil de Danne~~ (§ 19).

C'est une ~~est~~ condition, dont l'importance a été bien appréciée  
par Joule et Kelvin dans leurs travaux.

(Les mêmes considérations s'appliquent à la plupart des recherches  
semblables  
possibles et aussi, en quelque sorte aux travaux intéressants de  
(loc. cit.)

Emden. Cet ~~est~~ expérimentateur n'y a pas remédié par l'emploi  
de la soupape régulatrice (Druckreducirungsventil), puisqu'il n'a pas  
pris soin de réchauffer le gaz sortant, à une température invariable.

— Cette objection est encore plus importante pour les expériences de Mach  
et Salcher, <sup>faites à</sup> ~~avec~~ une pression plus haute et <sup>avec</sup> un réservoir de moindre

*[Faint, illegible handwriting, likely bleed-through from the reverse side of the page.]*

capacité, ce qui <sup>peut</sup> expliquer aussi l'écart entre les observations de l'abaissement de ~~la température~~ la température <sup>dans le</sup> jet de gaz. (une dizaine de degrés d'après Emden, une centaine d'après Mach.)

(Le thermomètre, d'ailleurs, n'est nullement applicable à la mesure de la température dans d'un gaz animé d'une grande vitesse, puis que le mouvement du gaz et la distribution de chaleur changeraient complètement par suite de ~~sa~~ sa présence. <sup>3</sup>)

#### IV. Solutions spéciales de <sup>quelques</sup> problèmes d'aérodynamique.

§22. Nous nous bornerons à l'étude de quelques problèmes simples, dont quelques uns, toutefois, ~~représentent~~ <sup>(des méthodes plus</sup> ~~générales.~~ <sup>générales,</sup> nous montreront l'application)

L'exemple, le plus simple, ~~est~~, est le mouvement stationnaire d'un gaz compris entre deux parois cylindriques, concentriques; l'extérieure a <sup>pour le</sup> rayon  $r_1$ , ~~est~~ <sup>est</sup> fixe, et l'intérieure <sup>de</sup> rayon  $r_2$ , effectuée <sup>une rotation</sup> ~~de~~ <sup>de</sup>  $n$  tours par seconde.

(Désignons par  $\omega$  la vitesse angulaire correspondante au rayon  $r$ ;

alors nous aurons la solution des équations (10)

$$u = -\omega \frac{r^2}{2} ; \quad v = \omega \frac{r^2}{2} ; \quad \text{sous la condition que } \omega$$

*[Faint, illegible handwriting on aged paper]*

satisfait à l'équation :

$$\omega = -\frac{a}{2r^2} + b = \frac{2an}{\frac{1}{r_1^2} - \frac{1}{r_2^2}} \left[ \frac{1}{r^2} - \frac{1}{r_2^2} \right] \quad \text{--- (33)}$$

Les pressions peuvent être résultant de  $\frac{dp}{dr} = \omega^2 r \rho$ , si la température est connue. Celle-ci est déterminée par l'équation (12), qui, intégrée, donne

~~$$\theta = \theta_0 + \frac{\mu}{4k} \frac{a^2}{r^2} + c \log r + \dots$$~~

$$\theta = \theta_0 + \frac{\mu}{4k} a^2 \left[ \frac{1}{r^2} - \frac{1}{r_2^2} \right] + c \log \frac{r}{r_2} \quad \text{--- (34)}$$

où  $\theta_0$  désigne la température de la paroi extérieure.

Pour déterminer le coefficient  $c$ , supposons que le cylindre intérieur soit isolé <sup>au</sup> point de vue thermique.

Il atteindra l'équilibre thermique lorsque:  $\kappa \left. \frac{d\theta}{dr} \right|_{r=r_2} = 0$ .

La température correspondante est

$$\theta_2 = \theta_0 + \frac{\mu a^2}{4k} \left[ \frac{1}{r_1^2} - \frac{1}{r_2^2} + \frac{2}{r_1^2} \log \frac{r_1}{r_2} \right] \quad \text{--- (35)}$$

ou approximativement, pour une petite ~~épaisseur~~ épaisseur  $r_1 - r_2$ :

$$\theta_2 = \theta_0 + \frac{2\mu}{k} (anr_1)^2 \quad \text{indépendamment de l'épaisseur,} \quad \text{--- (36)}$$

ce qui donne par ex. pour  $n = 100$ ,  $r_1 = 10$  cm, dans l'air:  $\theta_2 = \theta_0 + 14^\circ$

§ 23. En <sup>supposant</sup> ~~mettant~~  $r = \infty$  dans l'exemple précédent, on bien en supposant  $u = v = 0$ ;  $v = f(x)$ ; on aura un flux lamellaire, stationnaire, qui est identique ~~avec~~ celui qui se produit dans des

11

12

13

14

15

16

17

18

19

20

6

\*

circonstances analogues dans les liquides:  $v = bx + c$

(Mais au sein des liquides, ~~un~~ <sup>aussi</sup> mouvement variable lamellaire est possible: lorsque le plan OYZ exerce des oscillations dans la direction des Y:  $v_0 = A \cos pt$ )

(Ce mouvement se propage dans la direction des X en vertu de l'équation

$\frac{\partial v}{\partial t} = \frac{\mu}{\rho} \frac{\partial^2 v}{\partial x^2}$  de la même manière que la chaleur dans un corps

chauffé:  $v = A e^{-x \sqrt{\frac{\rho c}{2\mu}}} \cos pt - x \sqrt{\frac{\rho c}{2\mu}}$  ----- (37)

Dans les gaz, au contraire, il ya cette singularité que les équations (10, 11, 12) ne peuvent pas être satisfaites par ~~la supposition~~ <sup>l'hypothèse</sup>  $u = w = 0$ ;  $v = f(x, t)$ ; puisque la chaleur produite par <sup>le</sup> frottement donnera naissance à des vitesses dans la direction des X.

Il est facile d'en faire l'évaluation approximative.

Voilà un exemple intéressant, <sup>de la manière dont</sup> comme des vibrations transversales peuvent produire des ondulations longitudinales, sonores; ce sont les premières qui seront prédominantes dans la proximité de la paroi OYZ, les autres dans des distances plus grandes, puisque leur coefficient d'extinction sera plus petit.)

(L'effet d'une raréfaction du gaz <sup>sera</sup> d'augmenter l'extinction pour les ondes longitudinales et <sup>de</sup> la diminuer pour les ondes transversales.)

I done

§ 24. Un autre exemple qui <sup>met en évidence</sup> ~~démontre~~ une différence des liquides et <sup>des</sup> ~~des~~

et gaz, ~~est~~ le suivant : un courant stationnaire dans la direction X, dont la vitesse ne dépend que de la valeur de x ; les parois parfaitement polies ou <sup>a</sup> ~~à~~ une telle distance, qu'on peut négliger leur distance.

~~C'est - dire qu'on aura~~ <sup>En négligeant la condition</sup> les équations :

$$\left. \begin{aligned} \rho u \frac{du}{dx} &= \frac{dp}{dx} + \frac{4\mu}{3} \frac{d^2u}{dx^2} ; \\ \frac{d}{dx} (\rho u) &= 0 \\ u \frac{dp}{dx} + k\rho \frac{du}{dx} &= (k-1) \frac{4\mu}{3} \left(\frac{du}{dx}\right)^2 \end{aligned} \right\} \text{--- (38)}$$

que, dans ce cas, on a

Ce qui est intéressant ~~aussi~~, c'est qu'on a une solution exacte, ~~donc~~ ~~aussi~~, tandis que dans l'hydrodynamique, on ne connaît pas de solution exacte des équations complètes, <sup>sauf</sup> ~~sauf~~ <sup>quelques cas très simples</sup> ~~très simples~~ comme le précèdent. Un mouvement analogue stationnaire ~~serait~~ d'un liquide serait impossible, puis qu'il n'y aurait pas de forces d'expansion visqueuse qui pourraient s'opposer à l'accélération produite par les différences de pression.

Les équations (38, 2) et (38, 1) peuvent être intégrées immédiatement.

$\rho u = b$  --- (39, 2)

$\frac{du}{dx} = \frac{3}{4\mu} (bu + p - a)$  --- (39, 1)

De même (38, 3) après avoir été divisée par  $\frac{du}{dx}$ , dont la valeur est donnée par l'équation précitée :

$p = \frac{(k-1)}{2} bu - \frac{c}{u} - (k-1)a$  ----- (39, 3)

*[The page contains extremely faint, illegible handwriting, likely bleed-through from the reverse side. The text is too light to transcribe accurately.]*

La substitution de cette valeur dans (39,1) et l'intégration donne:

$$x = m + \frac{4\mu}{3} \int \frac{u \, du}{(k+1) \frac{1}{2} u^2 - ka u - c} \dots \dots \dots (40)$$

où l'intégrale peut être développée évaluée par des fonctions cyclométriques ou logarithmiques.

Le problème est résolu - mais, <sup>qu'il possède des</sup> ~~il y a~~ <sup>dans la</sup> applications ~~et~~ <sup>pratique,</sup> ~~qui~~ <sup>Nous avons trouvé ici</sup>

~~apparaît assez douteux, ce qui en elle-même, est le nombre quatre~~  
~~quatre~~ constantes arbitraires, <sup>alors</sup> pendant que nous sommes ~~accoutumés~~ <sup>habitués</sup>

<sup>à</sup> définir le flux <sup>p. ex. dans les</sup> ~~par des~~ tubes de Poiseuille, par trois données:

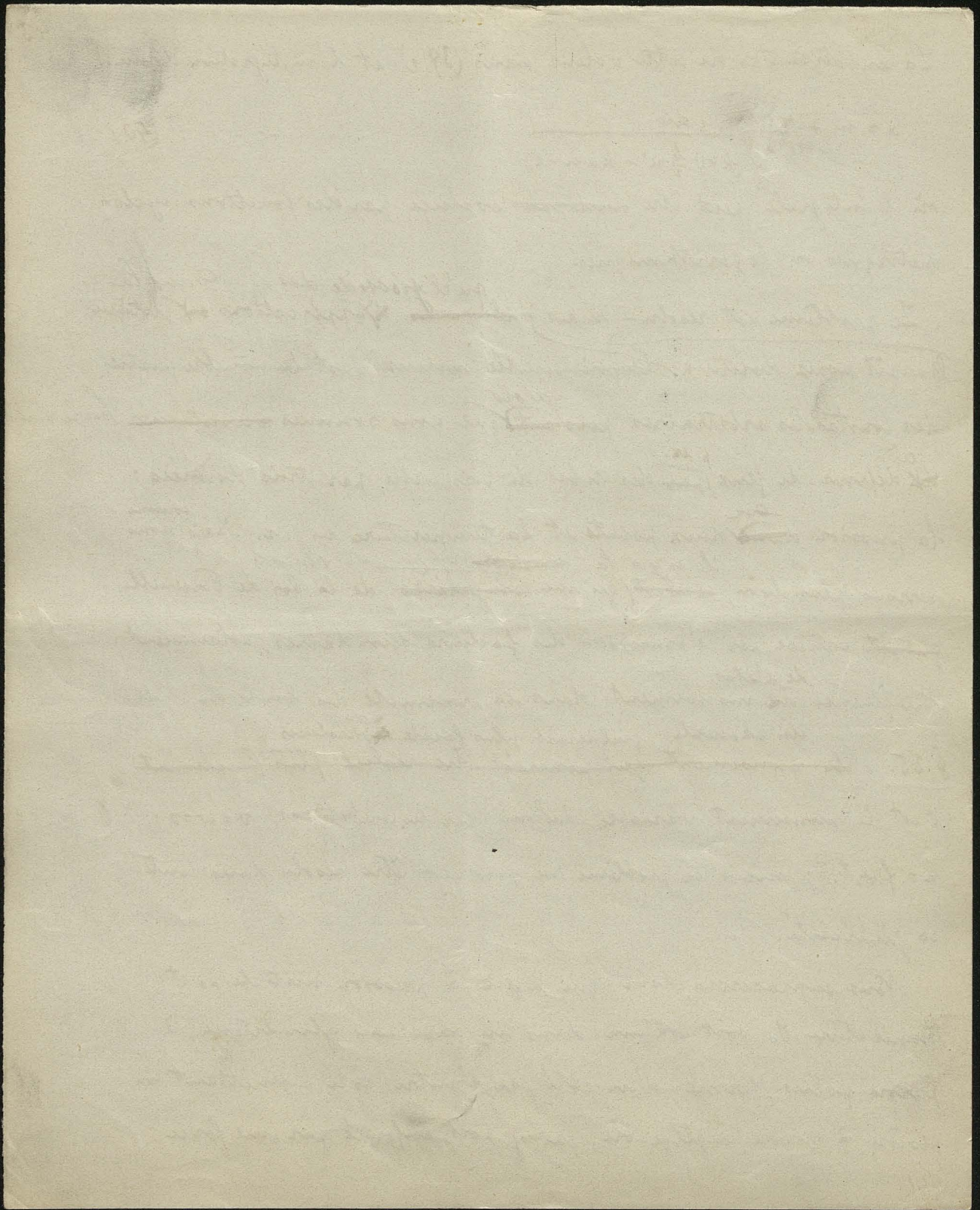
la pression <sup>ou</sup> ~~à~~ deux points et la température du gaz. Mais <sup>comme</sup> nous verrons plus loin, ~~ce n'est~~ <sup>il n'y a la</sup> ~~simplicité~~ <sup>apparente simplicité</sup> de la loi de Poiseuille,

~~qui est~~ causée par l'omission des facteurs secondaires, notamment <sup>de l'état</sup> l'influence <sup>(de mouvement dans la proximité des</sup> ~~de~~ <sup>extrémités</sup> ~~du~~ tube.

Un exemple <sup>qu'il serait plus facile de</sup> ~~qui~~ <sup>de</sup> ~~pourrait être résolu plus facilement~~

§ 25. ~~Un mouvement~~ qui pourrait être résolu plus facilement c'est le mouvement variable défini par les conditions:  $v = w = 0$ ;  $u = f(x, t)$ ; mais ce problème ne pourrait être résolu dans toute sa généralité.

Nous supposons donc que le gaz, à pression initiale  $p_0$  et température  $\theta_0$  soit contenu dans un ~~vaisseau~~ <sup>vaisseau</sup> cylindrique, à parois polies, fermé d'un côté, de l'autre côté admettant un piston, à masse négligeable, qui y soit enfoncé par une force



constante  $a$ ; ~~par cause de simplification~~ <sup>pour simplifier</sup> (nous <sup>aussi</sup> négligeons) l'effet de l'inertie du gaz, <sup>en</sup> supposant un mouvement instantané analogue dans toute son étendue:  $u = \alpha f(t)$  ..... (41)

Or, la force extérieure  $a$  doit être balancée par la somme de la pression intérieure du gaz et par le frottement intérieur, d'après (1) c'est-à-dire, (i)  $p_{xx} = a = p - \frac{4}{3}\mu \frac{\partial u}{\partial x}$  ..... (42)

L'introduction de  $\frac{\partial u}{\partial x} = f(t)$  et la substitution de  $p$  dans l'équation thermique:  $\frac{dp}{dt} + k p \frac{\partial u}{\partial x} = (k-1) \frac{4\mu}{3} \left(\frac{\partial u}{\partial x}\right)^2$  donne l'équation:  $\frac{df}{dt} + \frac{3ak}{4\mu} f + f^2 = 0$  ..... (43)

On en déduit par intégration:

$$\frac{1}{f} = A e^{\alpha t} - \frac{1}{\alpha} \frac{7}{f}; \quad \text{où: } \alpha = \frac{3ak}{4\mu} \quad \text{..... (44)}$$

et, en introduisant la valeur initiale  $\frac{4\mu}{3} \left(\frac{\partial u}{\partial x}\right)_{t=0} = p_0 - a$ , on obtient:

$$u = \frac{\alpha \alpha}{\left(\frac{ak}{p_0 - a} + 1\right) e^{\alpha t} - 1} \quad \text{..... (45)}$$

Pour trouver la densité, intégrons l'équation de continuité:  $\frac{dp}{dt} + p \frac{\partial u}{\partial x} = 0$ , ce qui donne:  $p = p_0 e^{-\int f dt}$  ..... (46)

où l'intégrale peut être développée de la manière suivante:

$$\int \frac{dt}{A e^{\alpha t} - B} = \frac{1}{\alpha B} \log \left( \frac{A e^{\alpha t} - B}{A e^{\alpha t}} \right)$$

F qui tendront à s'évanouir

Q.

C'est - à dire :

$$p = p_0 \left[ 1 + \frac{p_0 - a}{a k} (1 - e^{-a t}) \right]^{-1} \quad \dots \dots \dots (47)$$

La densité, la pression et la température s'approcheront, par conséquent, d'une manière asymptotique à ~~la~~ <sup>aux</sup> des ~~limites~~ (limites :

$$p_{\infty} = \frac{p_0}{1 + \frac{p_0 - a}{a k}} ; \quad p_{\infty} = a ; \quad \dots \dots \dots (48)$$

~~et~~

$$\theta_{\infty} = \frac{p_{\infty}}{R p_{\infty}} = \frac{a \left( 1 + \frac{p_0 - a}{a k} \right)}{R p_0} = \theta_0 \left[ \frac{1}{k} + \frac{a}{p_0} \frac{k-1}{k} \right]$$

Ce qu'il y a d'intéressant dans cet exemple, c'est la comparaison avec la formule adiabatique ordinaire, qui donnerait :

$$\frac{p}{p_0} = \left( \frac{a}{p_0} \right)^{\frac{1}{k}} ; \quad \frac{\theta}{\theta_0} = \left( \frac{a}{p_0} \right)^{\frac{k-1}{k}} ;$$

Les valeurs qui en résultent pour l'élévation de la température finale, sont inférieures à celles de notre calcul (48), ce qui est ~~bien~~ naturel, puisque la formule adiabatique n'est applicable qu'au cas d'une expansion infiniment lente et ne tient pas compte du frottement intérieur.

Il est vrai que nous aussi, <sup>nous</sup> avons négligé un facteur : l'effet de l'inertie du gaz, qui ~~tend~~ à diminuer cette différence et ~~produira~~ des oscillations vanissantes ~~et ainsi que~~ <sup>et par conséquent</sup> notre calcul ne serait ~~pas~~ exact que pour un gaz très raréfié. Cependant, cet exemple prouve qu'une erreur - très petite peut être - est inévitable

qui tendront à s'évanouir

1872

To the Hon. Secy of the Interior  
Washington D.C.

Dear Sir

I have the honor to acknowledge the receipt of your letter of the 10th inst.

in relation to the application of the late Mrs. J. M. [Name] for a grant of land.

The same has been referred to the proper authorities for their consideration.

I am, Sir, very respectfully,  
Your obedient servant,

[Signature]

Very truly yours,  
[Signature]

Enclosed are the papers in relation to the above mentioned application.

I am, Sir, very respectfully,  
Your obedient servant,  
[Signature]

6

si l'on emploie la formule adiabatique ~~deux~~ à l'évaluation des mesures de la chaleur spécifique des gaz faites d'après la méthode de Clément - Desormes.

(Leur effet sera une augmentation apparente du coefficient  $k$ , le contraire de l'effet de la conductibilité. D'ailleurs, il dépendra de la manière dont se produit la compression; si le ~~réservoir~~ <sup>réservoir</sup> avait, par exemple, une forme sphérique, à parois déformables, la diminution des longueurs serait la même dans toutes les directions:  $\frac{\partial u}{\partial x} = \frac{\partial v}{\partial y} = \frac{\partial w}{\partial z} = \text{const.}$  et, par conséquent,  $p_{xx} = p_{yy} = p_{zz} = p$ , c'est-à-dire que la viscosité n'aurait <sup>aucun</sup> ~~pas~~ d'effet ~~de tout~~ ~~sur~~ ni effet mécanique, ni thermique, (puisque  $\Phi = 0$ ).

§ 26. Le système des équations aérodynamiques est si compliqué, qu'on ne peut espérer de le résoudre directement que dans des exemples d'une ~~grande~~ <sup>assez</sup> simplicité exceptionnelle, tels que ceux que nous <sup>venons de citer.</sup>

~~Autrement~~, on peut <sup>aussi</sup> employer, outre les méthodes de § 7 - § 13, la méthode d'<sup>ci</sup> approximations successives. En voici <sup>ci</sup> des cas particuliers.

Si le coefficient  $\kappa$  de conductibilité thermique était infini, on aurait un mouvement rigoureusement isothermique. La même <sup>conclusion</sup> ~~doce~~ s'applique approximativement à tous les cas où la conductibilité joue un rôle prépondérant comme aux mouvements "calmes"

*[The page contains several paragraphs of extremely faint, illegible handwriting, likely bleed-through from the reverse side of the paper. The text is too light to transcribe accurately.]*

conduits  
 dans des ~~vases~~ vaisseaux étroits; à mesure que  $\frac{1}{k}$  diffère  
 de la valeur \* zéro, la distribution de chaleur et de mouvement  
 s'écarte de l'état limite, ~~de sorte~~ <sup>de sorte</sup> qu'on pourra développer toutes  
 les variables en séries potentielles de la forme

$$u = u_0 + \frac{u_1}{k} + \frac{u_2}{k^2} + \frac{u_3}{k^3} + \dots \quad \left. \begin{array}{l} \\ \\ \end{array} \right\} \text{--- -- -- -- --} \quad (49)$$

$$\theta = \theta_0 + \frac{\theta_1}{k} + \frac{\theta_2}{k^2} + \dots$$

En décomposant les équations (10, 11, 12) <sup>après avoir substitué</sup>  
 ces expressions, d'après les degrés de  $\left(\frac{1}{k}\right)$ , on aura une série d'équations  
 à approximations progressives, <sup>(dont les trois premiers représentent l'état</sup>  
 le plus simple: isothermique:

$$\left. \begin{array}{l} \theta_0 = \text{const} = \frac{\mu_0}{R p_0} \\ \frac{\partial p_0}{\partial x} = \mu \Delta^2 u_0 + \frac{\mu}{3} \frac{\partial \text{div}_0}{\partial x} \text{ etc.} \\ \frac{\partial(p_0 u_0)}{\partial x} + \frac{\partial(p_0 v_0)}{\partial y} + \frac{\partial(p_0 w_0)}{\partial z} = 0 \\ (k-1) \Delta^2 \theta_1 = u_0 \frac{\partial p_0}{\partial x} + v_0 \frac{\partial p_0}{\partial y} + w_0 \frac{\partial p_0}{\partial z} + k \text{div}_0 - (k-1) \Phi_0 \\ \frac{\partial p_1}{\partial x} = \mu \Delta^2 u_1 + \frac{\mu}{3} \frac{\partial \text{div}_1}{\partial x} \text{ etc.} \\ \frac{\partial(p_0 u_1 + p_1 u_0)}{\partial x} + \frac{\partial(p_0 v_1 + p_1 v_0)}{\partial y} + \frac{\partial(p_0 w_1 + p_1 w_0)}{\partial z} = 0 \end{array} \right\} \text{--- -- -- -- --} \quad (51)$$

§ 27. Essayons d'appliquer cette méthode d'approximation à la théorie  
 ordinaire <sup>\*)</sup> du mouvement dans les tubes Poiseuille. Le raisonnement  
 auquel correspond aux équations (50) simplifiées encore par <sup>l'hypothèse</sup> la sup-  
 position  $v = w = 0$  et par l'omission des termes  $\frac{\partial^2 u}{\partial x^2}$ ,  $\frac{\partial^2 u}{\partial x \partial y}$  etc.  
 Pour obtenir une approximation plus grande, <sup>il faut</sup> ~~on devrait~~ substituer

\*) O.E. Meyer Digg. Ann. 127 p. 253, 353 (1866); 148 p. 1 (1872).

*[Faint, illegible handwriting throughout the page, likely bleed-through from the reverse side. Some faint markings and numbers are visible, such as "100" and "1000".]*

les formules qui en résultent, c'est-à-dire :

$$r = \sqrt{p_1^2 - \frac{x}{l} (p_1^2 - p_2^2)} = \sqrt{a - cx} \quad (52)$$

$$u = \frac{\delta^2 - r^2}{8\mu} \frac{c}{\sqrt{a - cx}} \quad (53)$$

dans l'équation (51), qui se transforme dans

$$\Delta^2 \theta_1 = \frac{1}{r} \frac{\partial}{\partial r} \left( r \frac{\partial \theta_1}{\partial r} \right) = \frac{c^2}{16\mu} \frac{\delta^2 - 2r^2}{a - cx} \quad (54)$$

L'intégration donne :

$$\theta_1 = -\frac{c^2}{128\mu} \frac{(\delta^2 - r^2)^2}{a - cx} = -\frac{1}{128\mu} \left[ \frac{(\delta^2 - r^2) (p_1^2 - p_2^2)}{lp} \right]^2 = -\frac{u^2 \mu}{2} \quad (55)$$

Nous aurons donc :  $\theta = \theta_0 - \frac{\mu}{2k} u^2$

et, ce qui est <sup>remarquable</sup> ~~essentiel~~,  $\frac{\partial \theta}{\partial r} = 0$ , c'est-à-dire que le gaz n'échange

pas de chaleur avec les parois du tube.

L'abaissement <sup>um</sup> maximal, dans l'axe du tube, s'élève à

$$\Delta \theta = \frac{9\delta^4}{16 \cdot 128 \cdot k \mu} \left[ \frac{p_1^2 - p_2^2}{lp} \right]^2. \text{ La valeur serait, par exemple, pour } (56)$$

$$p_1 = 1 \text{ atm.}, p_2 = \frac{1}{2} \text{ atm.}, \delta = 0.1 \text{ mm.}, l = 10 \text{ cm.} : \Delta \theta = 0.6^\circ - 2.4^\circ$$

Ainsi on trouve pour les expériences de Koch \*) sur la viscosité de la vapeur de mercure, ~~par~~ avec les nombres approximatifs :

$$p_1 = 100 \text{ cm.}, p_2 = 1 \text{ cm.}, l = 10 \text{ cm.}, r = 0.00425 \text{ cm.}$$

un abaissement sur l'axe de  $0.04^\circ$  jusqu'à  $400^\circ \text{C.}$

\*) Wiedem. Ann. 19 p. 957 (1883)

122

123

124

125

Ce résultat ne sera pas exact, sans doute, mais il suffit pour démontrer que la formule de Poiseuille, fondée sur la <sup>hypothèse</sup> ~~supposition~~ d'un mouvement lent et isothermique, n'est pas applicable dans un cas pareil et que le ~~meilleur~~ <sup>final</sup> résultat (de ce travail - proportionnalité de  $\mu$  avec  $\theta^{1.6}$  - est dénué de fondement. Des objections <sup>de même nature</sup> ~~possibles~~ s'attachent aux travaux de L. Meyer et Stendel <sup>\*</sup>) et même à quelques unes des mesures de O.E. Meyer, <sup>(loc. cit.)</sup> quoique l'influence sur les nombres définitifs de celles-ci ~~ne soit~~ pas importante probablement.

Elles font apprécier l'importance des conditions : petitesse du diamètre et de la différence des pressions et longueur du tube.

La formule (56) d'ailleurs ne sert qu'à la vérification de la <sup>supposition</sup> ~~condition~~ d'isothermie. On ne serait pas justifié de en droit de pousser plus loin ~~monter~~ le calcul d'approximation plus loin, à cause de l'inexactitude de la formule primaire, <sup>(52, 53)</sup> ~~des~~ ~~valeurs~~ qui provient des simplifications mentionnées. <sup>\*\*\*)</sup>

D'autre part, si l'on voulait exécuter le calcul en tenant compte de ces effets secondaires, - de la viscosité, de volume <sup>et</sup> de l'inégalité de pression dans les différentes couches d'un profil, ~~on~~ on rencontrerait un autre obstacle : la connaissance de la pression <sup>en</sup> ~~dans~~ deux points

\*) Wiedem Ann. 16 p. 368, 394 (1882)

\*\*) Il y faut ajouter l'omission des termes d'inertie  $\rho u \frac{\partial u}{\partial x}$  etc.

9

de l'axe,  $p_1$ ,  $p_2$  et de la température initiale ne suffirait pas à la détermination des constantes et des fonctions arbitraires du calcul; il faudrait <sup>connaître encore</sup> ~~avoir~~ la distribution détaillée de <sup>la</sup> vitesse et de <sup>la</sup> pression dans le profil initial.

<sup>On</sup> ~~peut~~ <sup>peut</sup> dire que le problème n'est pas défini d'une façon exacte, si l'on <sup>n'a</sup> pas précisé la forme des deux réservoirs, qui communiquent par le tube, surtout dans la proximité de ses bouts. L'effet de ces circonstances, qui se manifeste <sup>par exemple</sup> ~~surtout~~ dans les phénomènes de ~~en connexion avec~~ la "vene contracte", peut modifier d'une manière considérable <sup>la transpiration</sup> l'afflux (par des tubes larges, de petite ~~longueur~~ longueur.

Cependant la méthode de Poiseuille, employée de la <sup>manière</sup> ~~façon~~ décrite au § 13, peut servir toujours à des mesures exactes de la viscosité relative.

§ 28. Une autre catégorie de problèmes <sup>peut être</sup> ~~est~~ illustrée par l'exemple suivant. Supposons une sphère, en repos, dans un gaz animé d'un mouvement "calme", <sup>(stationnaire)</sup> avec une <sup>uniforme</sup> vitesse  $c$  à l'infini; cette <sup>hypothèse</sup> ~~supposition~~, qui implique l'omission des termes en  $\frac{\partial u}{\partial x}$  en comparaison avec  $\mu \Delta^2 u$ , exige que  $\frac{\rho c a}{\mu}$  soit une quantité petite.

La solution serait très simple, si <sup>(le gaz était comprimé à une)</sup> densité infinie, parce que dans ce cas div serait égal à zéro (d'après (M)) et le mouvement

The first part of the manuscript is devoted to a description of the  
 various species of plants which are found in the  
 country. The author has been very particular in  
 his descriptions, and has given many interesting  
 details of their habits and properties. He has  
 also mentioned the uses to which they are put  
 by the natives. The second part of the  
 manuscript is a list of the names of the  
 plants in the different languages of the  
 country. This list is very complete, and  
 will be found useful to all who are  
 interested in the natural history of the  
 country. The third part of the  
 manuscript is a description of the  
 various species of animals which are found  
 in the country. The author has been very  
 particular in his descriptions, and has  
 given many interesting details of their  
 habits and properties. He has also  
 mentioned the uses to which they are put  
 by the natives. The fourth part of the  
 manuscript is a list of the names of the  
 animals in the different languages of the  
 country. This list is very complete, and  
 will be found useful to all who are  
 interested in the natural history of the  
 country. The fifth part of the  
 manuscript is a description of the  
 various species of minerals which are found  
 in the country. The author has been very  
 particular in his descriptions, and has  
 given many interesting details of their  
 habits and properties. He has also  
 mentioned the uses to which they are put  
 by the natives. The sixth part of the  
 manuscript is a list of the names of the  
 minerals in the different languages of the  
 country. This list is very complete, and  
 will be found useful to all who are  
 interested in the natural history of the  
 country.

serait celui d'un liquide incompressible. Pour trouver les corrections qui résultent de la compressibilité, considérons que la distribution de la densité et aussi des autres variables dépendra de la valeur constante de la ~~densité~~<sup>pression</sup> à l'infini, que nous appellerons P.

A mesure que  $\frac{1}{P}$  s'éloigne de ~~la valeur~~ zéro, le mouvement s'écartera du type incompressible. Donc, on pourrait développer toutes les variables en séries d'après les degrés de  $\frac{1}{P}$ , d'une façon ~~semblable~~<sup>au</sup> comme dans § 26, ce qui permettrait de décomposer les équations (10, 11, 12) ~~dans~~<sup>en</sup> un système d'équations à approximations progressives. ~~Par cause de simplicité nous nous bornerons à la~~<sup>Pour simplifier</sup> considération de deux termes, en supposant que toutes les variables ~~soient~~<sup>soient</sup> composées de la manière suivante:

$$\left. \begin{aligned} u &= u_0 + u_1; & v &= v_0 + v_1; & w &= w_0 + w_1; \\ \rho &= \rho_0 + \rho_1; & \theta &= \theta_0 + \theta_1; \end{aligned} \right\} \dots \dots \dots (57)$$

où les termes premiers représentent le type limite d'incompressibilité, les termes seconds les corrections à y ajouter, petites en comparaison avec ~~les~~ ceux-là. L'équation (9) donne:

$$\left. \begin{aligned} \frac{\rho_0}{\rho_0} &= R\theta_0; & \frac{\rho_1}{\rho_0} &= \frac{\rho_1}{\rho_0} + \frac{\theta_1}{\theta_0}; \end{aligned} \right\} \dots \dots \dots (58)$$

~~et~~ Puisque nous supposons que les  $\theta$  variations de <sup>la</sup> pression, définies par  $\frac{\partial \rho_0}{\partial x}$  etc. soient petites par rapport à  $\rho_0$  etc., on pourra déduire de l'équation (11) comme approximation première:

$$\left. \begin{aligned} \text{div}_0 &= 0 \\ \text{appr. seconde: } \rho_0 \text{ div}_1 + u_0 \frac{\partial \rho_0}{\partial x} + v_0 \frac{\partial \rho_0}{\partial y} + w_0 \frac{\partial \rho_0}{\partial z} &= 0 \end{aligned} \right\} \dots \dots \dots (59)$$

Faint, illegible handwriting at the top of the page, possibly bleed-through from the reverse side.

Main body of faint, illegible handwriting, appearing to be bleed-through from the reverse side of the paper. The text is too light to transcribe accurately.

De l'équation (12):

$$u_0 \frac{\partial \rho_0}{\partial x} + v_0 \frac{\partial \rho_0}{\partial y} + w_0 \frac{\partial \rho_0}{\partial z} + k \rho_0 \operatorname{div}_1 = (k-1) [\Phi_0 + \kappa \Delta^2 \theta_0] \quad \dots \dots \dots (60)$$

qui se transforme, en égard à (59,2) et (58,1) dans en:

$$u_0 \frac{\partial \rho_0}{\partial x} + v_0 \frac{\partial \rho_0}{\partial y} + w_0 \frac{\partial \rho_0}{\partial z} + \cancel{k \rho_0 \operatorname{div}_1} \Phi_0 = \frac{k}{k-1} R \rho_0 [u_0 \frac{\partial \theta_0}{\partial x} + v_0 \frac{\partial \theta_0}{\partial y} + w_0 \frac{\partial \theta_0}{\partial z}] = -\kappa \Delta^2 \theta_0 \quad \dots (61)$$

De l'équation (10) enfin:

$$\left. \begin{aligned} \frac{\partial \rho_0}{\partial x} &= \mu \Delta^2 u_0 ; & \frac{\partial \rho_1}{\partial x} &= \mu \Delta^2 u_1 + \frac{\mu}{3} \frac{\partial}{\partial x} \operatorname{div}_1 ; \\ \frac{\partial \rho_0}{\partial y} &= \mu \Delta^2 v_0 ; & \frac{\partial \rho_1}{\partial y} &= \mu \Delta^2 v_1 + \frac{\mu}{3} \frac{\partial}{\partial y} \operatorname{div}_1 ; \\ \frac{\partial \rho_0}{\partial z} &= \mu \Delta^2 w_0 ; & \frac{\partial \rho_1}{\partial z} &= \mu \Delta^2 w_1 + \frac{\mu}{3} \frac{\partial}{\partial z} \operatorname{div}_1 ; \end{aligned} \right\} \dots \dots \dots (62)$$

L'approximation première est représentée par le système (62,1) qui détermine, ~~ensemble avec~~ avec (59,1), le problème analogue de l'hydrodynamique, dont (la solution voici):

$$\left. \begin{aligned} u_0 &= -\frac{3}{4} c a \left(1 - \frac{a^2}{2^2}\right) \frac{x^2}{2^3} + c \left(1 - \frac{3}{4} \frac{a}{2} - \frac{1}{4} \frac{a^3}{2^3}\right) \\ v_0 &= -\frac{3}{4} c a \left(1 - \frac{a^2}{2^2}\right) \frac{x y}{2^3} \\ w_0 &= -\frac{3}{4} c a \left(1 - \frac{a^2}{2^2}\right) \frac{x z}{2^3} \\ \rho_0 &= P - \frac{3\mu}{2} \frac{c a x}{2^3} \end{aligned} \right\} \dots \dots \dots (63)$$

Nous en ferons usage pour évaluer les variations de la température d'après (61). ~~La~~ La côté gauche de cette équation aura la valeur:

$$u_0 \frac{\partial \rho_0}{\partial x} + v_0 \frac{\partial \rho_0}{\partial y} + w_0 \frac{\partial \rho_0}{\partial z} = -\frac{3}{2} \mu \frac{c a}{2^3} \left(1 - \frac{3}{4} \frac{a}{2} - \frac{1}{4} \frac{a^3}{2^3}\right) + \frac{9}{2} \mu \frac{c^2 a^2}{2^3} \left(1 - \frac{5}{4} \frac{a}{2} + \frac{1}{4} \frac{a^3}{2^3}\right) \dots (64)$$

$$\Phi_0 = \frac{9}{4} \mu \frac{c^2 a^2}{2^4} \left(3 \frac{x^2}{2^2} + \frac{a^2}{2^4} - 6 \frac{a^2 x^2}{2^4} + 2 \frac{a^4 x^4}{2^6}\right) \dots \dots (65)$$

ce qui démontre que la chaleur provenant de la compression et du frottement intérieur sont des grandeurs du même ordre.

Les équations de la forme (61) - appartenant au type "elliptique" -

10  
11  
12  
13  
14  
15  
16  
17  
18  
19  
20  
21  
22  
23  
24  
25  
26  
27  
28  
29  
30  
31  
32  
33  
34  
35  
36  
37  
38  
39  
40  
41  
42  
43  
44  
45  
46  
47  
48  
49  
50  
51  
52  
53  
54  
55  
56  
57  
58  
59  
60  
61  
62  
63  
64  
65  
66  
67  
68  
69  
70  
71  
72  
73  
74  
75  
76  
77  
78  
79  
80  
81  
82  
83  
84  
85  
86  
87  
88  
89  
90  
91  
92  
93  
94  
95  
96  
97  
98  
99  
100

101  
102  
103  
104  
105  
106  
107  
108  
109  
110  
111  
112  
113  
114  
115  
116  
117  
118  
119  
120  
121  
122  
123  
124  
125  
126  
127  
128  
129  
130  
131  
132  
133  
134  
135  
136  
137  
138  
139  
140  
141  
142  
143  
144  
145  
146  
147  
148  
149  
150

$$\Delta^2 \vartheta + u_0 \frac{\partial^2 \vartheta}{\partial x^2} + v_0 \frac{\partial^2 \vartheta}{\partial y^2} + w_0 \frac{\partial^2 \vartheta}{\partial z^2} = F$$

qui se rencontrent souvent dans des problèmes <sup>semblables</sup> ~~parités~~, sont peu <sup>élucidées</sup> ~~expliquées~~ jusqu'à présent. Elles peuvent être intégrées par la ~~faute~~ méthode laborieuse d'approximation successive, en résolvant les équations  $\Delta^2 \vartheta' = F$

$$\Delta^2 \vartheta'' = F - (u_0 \frac{\partial^2 \vartheta'}{\partial x^2} + v_0 \frac{\partial^2 \vartheta'}{\partial y^2} + w_0 \frac{\partial^2 \vartheta'}{\partial z^2})$$

et en tenant compte de

$$\Delta^2 \vartheta''' = F - (u_0 \frac{\partial^2 \vartheta''}{\partial x^2} + v_0 \frac{\partial^2 \vartheta''}{\partial y^2} + w_0 \frac{\partial^2 \vartheta''}{\partial z^2}) \text{ etc.}$$

en regardant la condition de surface  ~~$\vartheta = \Theta$~~   $\vartheta = \Theta$ .

On peut se restreindre à l'approximation première, lorsque le coefficient  $\frac{caR}{k} \rho_0$  qui détermine la convergence de la série, est petit — condition qui ne diffère pas beaucoup, ~~sur~~ au point de ~~vue~~ <sup>quantitatif</sup> de la supposition antérieure d'un mouvement "calme". Dans ce cas, on déduirait la valeur suivante de (61), qui définit l'écart de l'isothermie :

$$\theta_0 = \Theta + \frac{\rho c^2}{32k} \left\{ \frac{a}{2} \left[ 19 + 13 \frac{a^2}{r^2} + 24 \frac{x^2}{r^2} - 39 \frac{x^2 a^2}{r^4} \right] + \frac{3a^2}{r^2} \left[ -9 + \frac{3x^2}{r^2} - \frac{a^2}{r^2} - \frac{2a^2}{3r^4} + \frac{4a^2 x^2}{r^4} - \frac{2a^4 x^2}{r^6} \right] \right\} \dots (66)$$

En substituant cette valeur dans (58,1)(59,2), on déduit la correction <sub>=</sub> de la pression qui correspond à la compressibilité et à la variabilité de la température. Elle sera très petite d'ailleurs, en comparaison avec la pression de résistance  $p$ , lorsqu'on suppose un mouvement "calme". \*)

(Zelle Journal 75 (1873))

\*) Voir un calcul <sup>analogue</sup> ~~par~~ <sup>approximatif</sup>, sans considération de la variabilité de la température: O.E. Meyer

9

r

§ 29. Puis que la température s'élève, d'après cette formule, suivant  
l'orientation de la normale à la surface en raison de

$$\frac{\partial \theta_0}{\partial z} \Big|_{z=0} = \frac{\mu c^2}{32 K a} [20 + 111 \cos^2 \varphi] \quad \text{--- --- --- --- ---} \quad (67)$$

une sphère solide, animée d'une vitesse  $c$  dans l'air tranquille  
devrait s'échauffer de même; l'effet serait plus grand aux  
"pôles", qu'à "l'équateur", sa valeur moyenne serait, d'après un

calcul approximatif, ~~50~~  $\Delta \theta = \frac{57}{32} \frac{\mu c^2}{K} \quad \text{--- --- --- ---} \quad (68)$

in dépendant des dimensions de la sphère.

La considération des corrections suivantes dans la série  $\vartheta', \vartheta'', \vartheta'''$   
changerait ce résultat de telle façon, que la distribution  
deviendrait asymétrique, le réchauffement étant plus considérable  
au pôle "postérieur" qu'à l'"antérieur".

Ce résultat, de même que l'exis comparative de la température  
à l'équateur est en accord avec les expériences de Joule et  
Kelvin \*) pour deux petites vitesses; et aussi la formule (68)  
s'accorde <sup>avec</sup> leurs mesures pour des vitesses moyennes, ~~fautes~~  
~~et~~ en ce qui concerne l'indépendance ~~du~~ <sup>de</sup> l'échauffement  
des dimensions du corps et la proportionnalité au carré de la

\*) Voir § 12, 5.

(56)

*[Faint, illegible handwriting throughout the page, likely bleed-through from the reverse side.]*

vitesses, seulement le coefficient numérique est plus petit [ $1^{\circ}\text{C. pour } 28 \frac{m}{sec.}$ , tandis que  $1^{\circ}\text{C. pour } 55 \frac{m}{sec.}$  d'après Kelvin.]

Cependant, on aurait tort de considérer ~~cela~~ <sup>ceci</sup> comme une confirmation de la théorie, puis que les conditions de ces expériences ~~ont dépassé~~ <sup>dépassent</sup> de beaucoup les suppositions du calcul. Rappelons  ~~$C^2 + p^2$~~  que  $\rho c a$  doit être petit en comparaison avec  $\mu$  ( $= 0.00018$ ), afin que le mouvement soit "calme"; par conséquent des vitesses ~~parcours~~ <sup>à être plus haut</sup> (qui seraient admissibles que dans un gaz très raréfié) ~~employés par Kelvin~~.

§30. Nous voyons que l'importance pratique de pareils exemples est limitée assez sérieusement par la ~~supposition~~ <sup>hypothèse</sup> du "calme".

— Un intérêt beaucoup plus considérable s'attacherait aux mouvements "violents" (voir §6), où <sup>d'ailleurs</sup> la compressibilité et les phénomènes thermiques jouent un rôle beaucoup plus considérable.

~~Les~~ <sup>(approximatives)</sup> méthodes qui pourraient être appliquées à des phénomènes pareils, où l'omission des termes d'inertie ne serait plus justifiée, sont les suivantes :

1). En considérant que le mouvement d'un gaz plus léger [c'est-à-dire ayant un coefficient  $R$  plus grand] sera plus rapproché du type "calme", on peut développer toutes les variables en séries de  $\frac{1}{R}$ , ce qui



donne des corrections successives à ajouter aux formules du type limite, d'après un procédé semblable à celui des §26, 28.

2). Un développement pareil, d'après les degrés de  $\mu$ , définirait des corrections à faire dans les ~~autres~~ résultats se rapportant au type limite du gaz idéal, à cause de la viscosité.

L'avantage de ces méthodes consiste dans la linéarité des équations différentielles, mais leur complication est ~~est~~ cependant plus considérable que dans les exemples précédents.

— En outre, lorsqu'une certaine limite d'inertie est ~~atteinte~~ <sup>dépassée</sup>, par suite <sup>de l'augmentation</sup> d'aplatissement de vitesse ou de densité, l'état devient <sup>instable</sup> ~~labile~~, et des mouvements "turbulents" prennent naissance.

Nous avons noté, dans les chapitres précédents, quelques cas semblables, ~~comme~~ comme les oscillations ~~fixes~~ ~~stables~~ fixes dans le jet d'un gaz, et les sons de friction, qui semblent être la cause primaire du son dans les instruments à ~~sans~~ vent.

— Il faudrait chercher d'autres méthodes pour le traitement de ces ~~telles~~ phénomènes, puis que les développements précédents supposent la continuité des fonctions.

(Mais nous ne nous occupons pas ici des problèmes des mouvements visqueux inerte, ~~en~~ considérant, que dans un cas beaucoup plus

*[The page contains extremely faint, illegible handwriting, likely bleed-through from the reverse side. The text is too light to transcribe accurately.]*

simple - dans l'hydrodynamique des liquides visqueux - les  
recherches analogues sont à peine abordées et, jusqu'à présent,  
n'ont fourni que des résultats très insuffisants.



